Code d'évolution stellaire CESAM2*k*

Aide mémoire: Installation, Utilisation

Pierre Morel
OCA Observatoire de Nice, BP. 4229, 06304 Nice Cedex 4
UMR CNRS 6529

Version V2, October 17, 2005

Qund un jour, tôt ou tard, il faut qu'on disparaisse,
Quand on a plus ou moins vécu, souffert, aimé
Il ne reste de soi que les enfants qu'on laisse
Et le champ de l'Effort où l'on aura semé.

Ch. De Gaulle

Contents

1 Installation **13**

1.1 CESAM2k . . . 13
1.2 Contenu de la distribution . . . 14
1.3 Installation . . . 14
1.4 Adaptation de la source . . . 16
1.5 Création du module exécutable . . . 16
1.5.1 Fonctions des modules . . . 17
1.6 Test de fonctionnement . . . 18
1.7 Mise en forme des données physiques . . . 21
1.7.1 Opacités "Yveline" . . . 22
1.7.2 Opacités OPAL pour $Z > 0.1$ . . . 23
1.7.3 Opacités HOUDEK . . . 23
1.7.4 Equation d'état OPAL . . . 24
1.7.4.1 OPAL 1991 . . . 24
1.7.4.2 OPAL 2001 . . . 26
1.7.5 Equation d'état MHD . . . 27

2 Exploitation **31**

2.1 Conseils pour l'exploitation . . . 31
2.2 Le fichier de données : `mon_modele.don` . . . 31
2.3 Exemple de fichier de données . . . 32
2.4 Arguments de la NAMELIST `NL_CESAM` . . . 34
2.5 Arguments de la NAMELIST `NL_MASS` . . . 35
2.6 Arguments de la NAMELIST `NL_EVOL` . . . 37
2.7 Arguments de la NAMELIST `NL_CHIM` . . . 37
2.7.1 Alternative : conservation métal/H ou métal/Z . . . 39
2.8 Arguments de la NAMELIST `NL_CONV` . . . 39
2.9 Arguments de la NAMELIST `NL_DIFF` . . . 40
2.10 Arguments de la NAMELIST `NL_ROT` . . . 41
2.11 Arguments de la NAMELIST `NL_ETAT` . . . 42
2.12 Arguments de la NAMELIST `NL_OPA` . . . 43
2.13 Arguments de la NAMELIST `NL_NUC` . . . 43
2.14 Arguments de la NAMELIST `NL_ATM` . . . 44
2.15 Fichiers de données des versions antérieures . . . 45
2.16 Exemple d'exploitation sous UNIX/LINUX, . . . 46
2.17 Programmes d'exploitation . . . 46
2.18 Scripts d'exploitation . . . 47

3 Personnalisation **49**
3.1 Langue . . . 50
3.2 Mixture . . . 51
3.3 Rapports isotopiques . . . 51
3.4 Personnalisation des rapports d'abondances . . . 52
3.5 Personnalisation de la composition chimique du vent. . . . 52
3.6 Ascii . . . 53
3.7 Réglages . . . 54
3.8 Zoom . . . 57
3.9 Device . . . 59
3.10 Physique45 . . . 59

4 Extensions **61**
4.1 Ajout d'une chaîne de réactions thermonucléaires . . . 61
4.2 Ajout d'une mixture initiale . . . 62

5 Debug **63**
5.1 Debug . . . 63

A Installation sous LINUX **65**
A.1 Création de la bibliothèque avec `ifc` . . . 65
A.2 Installation de PGPLOT . . . 66
A.2.1 Installation intégrale avec `ifc` . . . 66
A.2.2 Installation sans larme . . . 67

B Liste des fichiers ASCII **69**
B.1 Fichiers pour oscillations . . . 69
B.1.1 Fichier pour oscillations adiabatiques . . . 70
B.1.2 Fichier pour oscillations non adiabatiques . . . 71
B.1.3 Fichier pour inversions . . . 72
B.2 Fichier pour diagramme HR . . . 73

List of Figures

1.1 Schéma de l'organigramme général de CESAM2k. Le programme `cesam2k`, compilé une fois pour toutes, fait appel à la routine `cesam` qui constitue en fait, le programme principal. Dans `cesam`, après des initialisations, on sépare le traitement des 3 possibilités : poursuite d'une évolution, initialisation sur la ZAMS homogène, initialisation d'une PMS. Le calcul se poursuit par des opérations de gestion de l'évolution, listing, création de fichiers de sortie, dessin, etc... Est ensuite fait appel à `resout`, où les équations de l'équilibre quasi-statique sont résolues en alternance avec celles de l'évolution du moment cinétique et de la composition chimique. Ces dernières sont résolues séparément dans `evol`. Une fois la convergence obtenue, il y a retour vers les algorithmes de gestion de l'évolution de `cesam` et, de là, poursuite de l'évolution ou retour à `cesam` pour sortie. Les routines d'analyse numérique et de physique sont sollicitées à différents niveaux de calcul. 29

1.2 Tracés évolutifs incluant la pré-séquence principale pour des étoiles de $0.5 M_\odot$ à $10 M_\odot$. Ces tracés ont été obtenus avec le fichier de données du § 2.3 (Page 32). 30

List of Tables

2.1 Valeurs des paramètres numériques suivant les diverses options de précision prévues. Les valeurs de ces paramètres peuvent être adaptées au type d'évolution, en utilisant l'option `'rg'`, *cf.* § 3.7 (Page 54); on utilise alors les paramètres indiqués dans le fichier de nom `reglages` placé dans l'environnement. Les dénominations s'interprètent de la façon suivante : `sp` : super précision, `pr` : précision réaliste, `lm` : pour petites masses (low mass), `sa` : pour modèles avec précision solaire (solar accuracy), `np` : pour modèles de précision normale, `co` : pour modèles destinés à l'exploitation des résultats du satellite CoROT. La signification des différents paramètres numériques est explicitée au § 3.7 (Page 54) et dans la routine `cesam` du sous-directory `SOURCE`, lignes 741-766; d'autres options sont prévues, certaines utilisent les abscisses eulériennes; elles ne sont pas détaillées ici. 36

Index

abondance d'hélium, 52
abondances, 52
abondances initiales, 37, 52
add_Al, 52
add_Ar, 52
add_B, 52
add_Be, 52
add_C, 52
add_Ca, 52
add_Cl, 52
add_Co, 52
add_Cr, 52
add_F, 52
add_Fe, 52
add_K, 52
add_Li, 52
add_Mg, 52
add_Mn, 52
add_N, 52
add_Na, 52
add_Ne, 52
add_Ni, 52
add_O, 52
add_P, 52
add_S, 52
add_Sc, 52
add_Si, 52
add_Ti, 52
add_V, 52
add_Z, 52
Adelb, 44
agemax, 37
aide mémoire, 14
ajout de mixture, 62
ajout isotope, 61
alecian1.f, 40
alecian2.f, 40
all_adia, 34
all_ascii, 35
all_invers, 34
all_nadia, 35
ALLOCATABLE, 14, 65
alpha, 39
anglais, 50
arret, 37
ascii.f, 53
ascii2bin_opa.f, 22

bashrc, 15

C-shell, 14
calib2k.f, 46
calib2k_pms, 47
calib2k_zams, 47
calibration solaire, 39
Cau-Fow, 44
cesam2k.out, 13, 18, 46
compilateur ifc, 65, 66
compilateur INTEL, 66
compilateurs, 13
compilation, 14
compile2k, 47
compile2k-dbg, 47
compile2k-dbg_list, 47
compile2k_list, 47
conseils, 31
cpturb, 39
cshrc, 14, 67
ctel, 54
ctem, 54
ctep, 54
cter, 54
ctes_85.f, 34
ctes_94.f, 34
ctet, 54

d_grav, 54
d_turb, 40
def_standard.tex, 47
dell, 21

des.f, 14
des2k_abon.f, 46
des2k_abontc.f, 46
des2k_abonts.f, 46
des2k_bin.f, 47
des2k_coeff_rota.f, 47
des2k_dhve.f, 46
des2k_hr.f, 46
des2k_osc.f, 46
des2k_ZC.f, 46
des_m.f, 16, 34
des_r.f, 14, 16, 34
dessin, 21
device, 59
diffm_0, 40
diffm_br.f, 40
diffm_mp.f, 40
difft_nu.f, 40
diffusion, 40
diffusion microscopique, 40
diffusion turbulente, 40
discon, 54
dn_fixe, 54
données, 13, 21
données de CESAM4, 45
données de CESAM5, 45
dpsi, 54
dt0, 54
dtlist, 37
dtmax, 54
dws, 41

edding.f, 44
en_masse, 54
enhan_al, 37
enhan_cha, 37
enhan_w, 37
equation d'état, 43
etat_eff.f, 43
etat_gong1.f, 43
etat_gong2.f, 43
etat_mhd.f, 27, 43
etat_opal.f, 24, 26, 43
etat_opalX.f, 26, 43
etat_opalZ.f, 26, 43
evol2k_pms, 47
evol2k_zams, 47
exe2k, 14, 47
exe2k-dbg, 47
EXPLOIT, 13
extension .mix, 51

f037_2k.f, 46
f_eos, 42
f_opa, 43
fichier de données, 32
fichier de sorties ASCII, 34
fichier_vent.f, 47
fichiers d'oscillations, 69
FORTRAN95, 13

gain de masse, 52
garde_xish, 37, 39
genere_cesam2k, 14, 47
genere_cesam2k-dbg, 47
grille_fixe, 37

he_core, 37
hopf.f, 44

ifc, 66
ini0, 54

journal, 13
jours, 41
jpz, 39

k5750.f, 44
k5777.f, 44
kind, 17
kipp, 54
kms/s, 41

langue, 50
Ledoux, 39
lib_del, 47
lib_del_repl, 47
lib_repl, 47
libcesam2k.a, 16
lim_atm.f, 44
lim_gong1.f, 44
lim_ro, 44, 45
lim_tau1.f, 44
link, 23
LINUX, 13, 14, 46
list_cesam, 16

lm, 36
loc_zc, 54
log_teff, 37

météorites, 37
métal/H, 39
métal/Z, 39
m_ch, 54
m_ptm, 54
m_qs, 54
m_tds, 54
mdot, 35
mitler, 43
mixture, 51, 62
mod_atm.f, 17
mod_cesam.f, 14, 17
mod_conv.f, 17
mod_donnees.f, 17
mod_etat.f, 17
mod_evol.f, 17
mod_exploit.f, 17
mod_kind.f, 17
mod_nuc.f, 17
mod_numerique.f, 17
mod_opa.f, 17
mod_static.f, 17
mod_variables.f, 17
modif_mix, 37
modif_xish, 52
mon_modele-ad.osc, 34, 70
mon_modele-ascii, 34
mon_modele-inv.osc, 34, 72
mon_modele-nad.osc, 34, 71
mon_modele.don, 13, 31
mon_modele.HR, 73
mtot, 35
mvt_dis, 54
mx, 35

n_atm, 54
n_max, 34, 54
NACRE, 44
nb_max_modeles, 37
NL_ATM, 32, 44
NL_CESAM, 32, 34
NL_CHIM, 32, 37
NL_CONV, 32, 39
NL_DIFF, 32
NL_ETAT, 32, 42
NL_EVOL, 37
NL_MASS, 32, 35
NL_MODIF_MIX, 52
NL_NOMS, 34
NL_NUC, 32, 43
NL_OPA, 32, 43
NL_RLG, 54
NL_ROT, 32, 41
NL_TEMPS, 32
no_des, 34
no_frad, 40
no_output, 34
nom_abon, 32, 37
nom_atm, 32, 44
nom_chemin, 32, 34
nom_conv, 32
nom_ctes, 32, 34
nom_des, 32
nom_diffm, 32, 40
nom_difft, 32, 40
nom_diffw, 42
nom_etat, 32, 43
nom_frad, 40
nom_nuc, 32, 43
nom_nuc_cpl, 43, 44
nom_opa, 32, 43
nom_output, 34
nom_perte, 32
nom_pertm, 35
nom_pertw, 42
nom_tdetau, 32, 44
NOTICE, 13, 14
np, 36
nr, 36
numéro de version, 13
numérotation des modèles, 34, 37

object module, 16
on_voit, 47
opa_gong.f, 43
opa_houdek9.f, 23, 43
opa_int_zsx.f, 43
opa_opal2.f, 43
opa_opalCO.f, 43
opa_yveline.f, 43
opa_yveline_lisse.f, 43

opacité, 22, 43
opalX_ascii_bin.f, 26
opalZ_ascii_bin.f, 26
option mixture, 51
options par défaut, 45
ordre, 54
osc_adia.f, 34
osc_invers.f, 34
osc_nadia.f, 34
ovshti, 39
ovshts, 39

p_pertw, 42
perte de masse, 52
pertm_ext.f, 35
pertm_msol.f, 35
pertm_tot.f, 35
pertm_waldron.f, 35
pertw_0, 42
pertw_loc.f, 42
pertw_ptm.f, 42
pertw_sch.f, 42
PGPLOT, 14, 66, 67
physique45, 45, 59
POINTER, 14, 65
pp1.f, 43
pp3.f, 43
ppcno10.f, 43
ppcno10BeBFe.f, 43
ppcno10Fe.f, 43
ppcno11.f, 43
ppcno12.f, 43
ppcno12Be.f, 43
ppcno12BeBFe.f, 43
ppcno12Li.f, 43
ppcno3a12Ne.f, 43
ppcno3a9.f, 43
ppcno3ac10.f, 43
ppcno9.f, 43
ppcno9Fe.f, 43
precision, 35
precit, 54
precix, 54
psi0, 54
pw_extend, 42

réactions thermonucléaires, 43, 61
réglages, 54

rad/s, 41
rapport des abondances, 52
rapports isotopiques, 51
re_nu, 40
rempl2k_mod, 47
rempl2k_mod-dbg, 47
restitution de l'atmosphère, 44
rg, 36, 54
ro_test, 54
roger00.f, 44
roger02.f, 44
roger05.f, 44
roger10a.f, 44
rot_solid, 41
routine de dessin, 34
routine de sorties ASCII, 34
routines disponibles, 34
RPM, 67

sa, 36
SCRIPTS, 13
solaire_gn, 37
solaire_gs, 37
sorties ASCII, 34
SOURCE, 13
sp, 36
sr, 36
SUN_STAR_DATA, 13, 21

t_stop, 37
tau_max, 44, 45
TESTS, 13

unit, 41
UNIX, 13, 14, 46

vent.f, 52

w_form, 42
w_rot, 41
WINDOWS, 13

x0, 37
x_stop, 37

y0, 37

zoom, 57
zsx0, 37

Chapter 1

Installation

On n'exécute pas tout ce qui se propose

Et le chemin est long du projet à la chose.

Le Tartuffe.

1.1 CESAM2*k*

Le principe de l'exploitation de CESAM2*k* est différent de celui utilisé dans les versions précédentes de CESAM. L'exécutable, `cesam2k.out`, est créé une fois pour toutes. C'est dans le fichier de données, `mon_modele.don`, que la physique à utiliser est indiquée conjointement aux paramètres. Il n'y a donc plus à créer d'exécutable adapté à chaque utilisation, comme c'était le cas avec les versions précédentes de CESAM. Il est toutefois possible de modifier la plupart des options retenues dans la source, grâce à des fichiers de "réglage" décrits au § 3 (Page 49), qui permettent d'adapter CESAM aux moyens de calcul dont on dispose et, dans une large mesure, aux particularités des modèles à calculer.

CESAM2*k* est programmé en `FORTRAN95`, ce qui permet un dimensionnement dynamique des tableaux adapté à chaque cas particulier. Les compilateurs suivants ont été utilisés avec succès :

- sous LINUX : `ifc` de INTEL, Lahey-Fujitsu `lf95`,
- sous UNIX : compilateur UNIX des machines ALPHA
- sous WINDOWS : Compact Visual Fortran

La signification du numéro de version `CESAM2k_Vi.j.k` est la suivante :

i augmente d'une unité à chaque modification du contenu des fichiers binaires de reprise *.pms, *.rep, *.dat, *etc...* les indices suivants **j** et **k** étant remis à 0.

j augmente d'une unité à chaque modification du contenu du fichier de données *.don, n'impliquant pas sa remise à 0, l'indice suivant **k** étant remis à 0.

k augmente d'une unité à chaque modification notable n'impliquant pas sa remise à 0.

Dans le sous-directory `SOURCE`, le fichier "`journal`" contient une description succincte de la chronologie des aménagements effectués.

PB `Le compilateur ifc de INTEL[1] n'a intégré les recommandations 1998 de la norme, qu'après mars 2004. Des difficultés de compilation peuvent apparaître avec les versions antérieures,` *cf.* § A.1 (Page 65).

PB CESAM2*k* `utilise le logiciel de dessin PGPLOT dont le fichier de configuration n'est pas prévu pour le compilateur ifc. Thierry Corbard, Observatoire de la Côte d'Azur, a construit les procédures nécessaires que l'on trouvera dans le sous-directory SCRIPTS.`

1.2 Contenu de la distribution

Le package `CESAM2k`[2] contient les sous-directory :

- `EXPLOIT` : ensemble de programmes et d'exemples de fichiers pour l'exploitation.
- `NOTICE` : sources LaTeX et fichiers postcript de la notice d'utilisation et de l'aide-mémoire.
- `SCRIPTS` : procédures UNIX/LINUX pour l'installation et l'exploitation avec le shell `csh`.
- `SOURCE` : ensemble des routines, modules et programmes de la source.
- `SUN_STAR_DATA` : données physiques, tables d'EOS par exemple.
- `TESTS` : programmes de test[3].

Dans le sous-directory `SOURCE`, un fichier nommé `journal` recense les divers aménagements effectués à partir du 01/05/05.

1.3 Installation

On décrit l'installation sous UNIX/LINUX en utilisant le C-shell.

PB `Avec un compilateur dont la version n'est pas à jour de la norme F95, (comme certaines versions du compilateur d'INTEL) il y aura refus d'effectuer une allocation dans une routine autre que celle où est déclarée l'allocation. Il y a lieu de remplacer dans les routines concernées, les instructions ALLOCATABLE par POINTER pour les tableaux incriminés` *cf.* § A.1 (Page 65).

[1] Contrairement aux idées reçues, ce compilateur n'est pas gratuit, cf. son contrat de licence.
[2] 2k pour "2000".
[3] Certains de ces programmes sont à adapter à la présente version de CESAM2*k*.

- Dézipper et détarer la distribution :

  ```
  tar -xzvf CESAM2k.tar.gz
  ```

  Le sous-directory `CESAM2k` est créé. Il contient 6 sous-directory tarés et compressés :

  ```
  SOURCE.tar.gz
  EXPLOIT.tar.gz
  SUN_STAR_DATA.tar.gz
  SCRIPTS.tar.gz
  TESTS.tar.gz
  NOTICE.tar.gz
  ```

  qu'il convient de décompresser et détarer au fur et à mesure des besoins. Cette disposition permet de placer ces sous-directory aux endroits les mieux adaptés et ainsi de faciliter les mises à jour qui, la plupart du temps, n'affectent que le seul sous-directory `SOURCE`.

- Dans le sous-directory `SCRIPT`, adapter au compilateur F95 utilisé, les paramètres des procédures de compilation `compile2k` et d'exécution `exe2k`; y indiquer aussi les chemins de la source et des bibliothèques. Rendre les procédures exécutables : `chmod 700 *`.

- Pour une utilisation avec le shell `csh` ou `tcsh`, dans le fichier `.cshrc` ajouter les chemins de la bibliothèque et des exécutables, par exemple :

  ```
  set mypath=(....  ~/CESAM2k/SOURCE ~/CESAM2k/EXPLOIT .....)
  ```

  ```
  set path=(.  ~ ~/SCRIPTS $path $mypath) .....).
  ```

  Avec le shell `bash`, dans le fichier `.bashrc`, ces instructions deviennent :

  ```
  export
  ```

  ```
  PATH="$PATH: /CESAM2k/SCRIPTS: /CESAM2k/EXPLOIT: /CESAM2k/SOURCE"
  ```

- Si ce n'est déjà fait, installer le logiciel de dessin `PGPLOT`[4], et indiquer le chemin de sa bibliothèque dans le fichier `.cshrc` :

  ```
  LD_LIBRARY_PATH **** :/usr/lib/pgplot
  ```

  et définir la variable d'environnement[5] :

  ```
  setenv PGPLOT_DIR /usr/lib/pgplot.
  ```

  On donne au § A.2.1 (Page 66) un supplément d'informations concernant l'installation de ce logiciel.

  A défaut, de ce logiciel de dessin, dans le sous-directory `SOURCE` :

[4] Avec son mode d'emploi, le logiciel `PGPLOT` est téléchargeable via `anonymous ftp` à l'adresse `http://astro.caltech.edu/~tpj/pgplot/`.

[5] Une de ces instructions est peut être redondante. L'avis d'experts est accepté.

- Supprimer `boite`, `box`, `des_r`, `des_m` de la liste des `INCLUDE` du module `mod_numerique`.
- Dans la subroutine `des`, ne conserver que `CASE ('no_des')` et, éventuellement, `CASE DEFAULT`.
- Dans la subroutine `sortie`, supprimer `CALL pgend`.

PB `La liste de ces corrections n'est peut être pas complète.`

1.4 Adaptation de la source

Avant de créer le module exécutable, il convient d'adapter certains paramètres libres de la source à l'installation dont on dispose.

- Dans la routine `des_m`, ligne 105, adapter le nom du "device" : `device='/xw'`, éventuellement coder `device='?'` de façon à obtenir la liste des devices disponibles.
- Faire de même dans la routine `des_r`, ligne 89.

Dans les routines `des_m` et `des_r` il conviendra, par la suite, d'adapter la hauteur et la largeur des cadres, de façon à optimiser leur centrage dans la fenêtre dont on dispose, ou encore de personnaliser le dessin *cf.* § 3.9 (Page 59).

1.5 Création du module exécutable

Se placer dans le sous-directory `SOURCE`, y lancer la procédure[6] `genere_cesam2k`. Après la compilation, on obtient la liste des "`object module`" de la bibliothèque `libcesam2k.a` et le menu d'entrée de CESAM :

```
mod_kind.o
mod_numerique.o
mod_donnees.o
mod_variables.o
mod_etat.o
mod_opa.o
mod_conv.o
mod_atm.o
mod_nuc.o
mod_bp_for_alecian.o
mod_evol.o
mod_static.o
mod_cesam.o
mod_exploit.o
Encountered 0 errors, 0 warnings in file cesam2k-dbg.f.
```

[6]Dans la suite le symbole <== indique une instruction à saisir.

```
CESAM speaks a bit of english if you include in
the working directory a file named langue with the statements :
&NL_LANGUE
langue='english'
/
cf. aide_mem2k, chapter Personnalisation

Pour arrêter : taper 0 puis RETURN
Pour poursuivre une évolution : taper 1 puis RETURN
Pour initialiser un modèle de ZAMS : taper 2 puis RETURN
Pour initialiser un modèle de PMS : taper 3 puis RETURN
 ARRET
```

Suivant l'installation et les paramètres de compilation retenus, la création de la bibliothèque et du module exécutable nécessitent de l'ordre de 3 à 10 minutes.
De façon similaire, on peut créer un exécutable de debug avec la procédure `genere_cesam2k-dbg` du sous-directory `SCRIPTS`.

1.5.1 Fonctions des modules

Les modules de CESAM2k ont les fonctionalités suivantes :

- Module `mod_kind` : regroupe les types des variables.
- Module `mod_numerique` : regroupe les routines purement numériques.
- Module `mod_donnees` : regroupe l'ensemble des quantités fixes au cours de l'évolution.
- Module `mod_variables` : regroupe l'ensemble des quantités variables au cours de l'évolution.
- Module `mod_etat` : regroupe les routines concernant l'équation d'état.
- Module `mod_opa` : regroupe les routines concernant le calcul de l'opacité.
- Module `mod_conv` : regroupe les routines concernant la convection.
- Module `mod_atm` : regroupe les routines de restitution de l'atmosphère.
- Module `mod_nuc` : regroupe les routines concernant les réactions thermonucléaires.
- Module `mod_bp_for_alecian` : regroupe les routines concernant le calcul des accélérations radiatives, suivant le formalisme de G.Alécian.
- Module `mod_evol` : regroupe les routines concernant l'évolution temporelle de la composition chimique.
- Module `mod_static` : regroupe les routines concernées par la résolution de l'équilibre quasi-statique.

- Module `mod_cesam` : regroupe les routines concernant la gestion du calcul.
- Module `mod_exploit` : regroupe des routines concernées par l'exploitation des résultats.

On trouvera § 1.1 (Page 29) un organigramme général du code. Chaque routine `PRIVATE` et/ou `PUBLIC` est introduite sous la forme d'`INCLUDE` dans son module d'appartenance, ce dernier étant indiqué dans les commentaires du début de la routine.

1.6 Test de fonctionnement

Copier le fichier `mon_modele.don` du sous-directory EXPLOIT dans le sous-directory `TESTS`; ouvrir une fenêtre dans le directory `TESTS`. Editer le fichier `mon_modele.don`.

- Remplacer `"des_m"` par `"no_des"` si `PGPLOT` n'est pas opérationnel.
- Adapter `"nom_chemin"` au chemin du sous-directory `SUN_STAR_DATA` de votre installation.
- Rétablir éventuellement les instructions suivantes :

```
&NL_CESAM
NOM_CHEMIN='~/SUN_STAR_DATA/',    <==== à adapter
NOM_CTES='ctes_94',
NOM_DES='des_m',   <==== à adapter
NOM_OUTPUT='no_output',
N_MAX=2000,
PRECISION='np'
/
&NL_MASS
MTOT=1.d0,
NOM_PERTM='pertm_ext',
MDOT=0.d0
/
&NL_EVOL
AGEMAX=1.d2,
ARRET='else',
DTLIST=1.d10,
LOG_TEFF=10.d0,
NB_MAX_MODELES=2000,
HE_CORE=-1.d0,
T_STOP=5.d7,
X_STOP=-0.1d0
/
&NL_CHIM
GRILLE_FIXE=.FALSE.,
NOM_ABON='solaire_gn',
```

```
MODIF_CHIM=.FALSE.,
GARDE_XISH=.FALSE.,
X0=0.70d0,
Y0=0.28d0,
ZSX0=0.d0
/
&NL_CONV
NOM_CONV='conv_jmj',
ALPHA=1.8d0,
OVSHTS=0.d0,
OVSHTI=0.d0,
JPZ=.FALSE.,
CPTURB=0.d0,
LEDOUX=.FALSE.
/
&NL_DIFF
DIFFUSION=.FALSE.,
NOM_DIFFM='diffm_mp',
NOM_DIFFT='difft_nu',
D_TURB=0.d0,
RE_NU=1.d0,
NOM_FRAD='no_frad'
/
&NL_ROT
ROT_SOLID=.TRUE.,
W_ROT=0.d0,
UNIT='jours',
W_FORM=0.d0,
NOM_DIFFW='diffw_mpz',
NOM_PERTW='pertw_0',
P_PERTW=0.d0,
PW_EXTEND=0.d0
/
&NL_ETAT
NOM_ETAT='etat_eff',
F_EOS='eos_opal_250.bin',7*' '
/
&NL_OPA
NOM_OPA='opa_gong',
F_OPA='opa_yveline.bin',7*' '
/
&NL_NUC
NOM_NUC='ppcno9',
NOM_NUC_CPL='NACRE',
MITLER=F
/
&NL_ATM
```

```
 NOM_ATM='lim_atm',
 NOM_TDETAU='hopf',
 TAU_MAX=10.d0,
 LIM_RO=.TRUE.
 /
```

Lancer `cesam2k.out`

```
cesam2k.out <==

--------------------------
CESAM speaks a bit of english if you include in
the working directory a file named langue with the statements :
&NL_LANGUE
langue='english'
/
cf. aide_mem2k, chapter Personnalisation
--------------------------

Pour arrêter : taper 0 puis RETURN
Pour poursuivre une évolution : taper 1 puis RETURN
Pour initialiser un modèle de ZAMS : taper 2 puis RETURN
Pour initialiser un modèle de PMS : taper 3 puis RETURN
2  <==
 le modèle initial de ZAMS est-il donné en binaire ? o/n
n <==
 entrer le nom du fichier ASCII du modèle initial
 Exemples: m010.zams, m020.zams, m050.zams

m010.zams <==

 CESAM utilise le modèle m010.zams
 entrer l'identificateur du modèle
 Exemple: mon_modele, modele_euler

mon_modele <==

 identificateur des fichiers du modèle : mon_modele

 ************************************************************

 MODELE DE STRUCTURE INTERNE calculé par CESAM2k version V1.1.14

 ************************************************************

 .....                    .....                    .....
   .....                    .....                    .....
     .....                    .....                    .....
```

```
------- Restitution de l'atmosphère (fin) ------
*********
âge= 1.000E+02, LogTeff= 3.778E+00, LogL/Lsol=-5.073E-02, LogR/Rsol=-5.764E-02
Log g= 4.553E+00, Pc= 1.723E+17, Tc= 1.376E+07, Roc= 9.415E+01, Xc= 6.915E-01
en. PP= 97%, en. CNO=  2%, en. 3 alpha=  0%, en. grav=  0%, Yc= 2.879E-01
Var. rel. de masse :  0.000E+00, M*= 1.000E+00Msol, modèle de la série principale
*********

Fin d'évolution avec CESAM2k version : V1.1.14
Sortie car agemax atteint

 .....                    .....                    .....
   .....                    .....                    .....
      .....                    .....                    .....
nom du fichier du modèle d'atmosphère en binaire : mon_modele_B.atm
Le code d'évolution stellaire CESAM a été élaboré
dans le cadre du Groupement de Recherche Structure Interne
des Etoiles et des Planètes Géantes. Si son utilisation
vous a donné satisfaction, le but poursuivi par tous
ceux qui y ont contribué aura été atteint.

P.Morel, ON. Décembre 1989, CESAM1
P.Morel, OCA. Octobre 1991, CESAM2
P.Morel, OCA. Avril 1993, CESAM3
P.Morel, OCA. Décembre 1997, CESAM4
P.Morel, OCA. Décembre 2002, CESAM5
P.Morel, B.Pichon OCA. Septembre 2003, CESAM2k
P.Morel, OCA, Y.Lebreton, MJo Goupil OBSPM, Février 2004, Version anglaise
P.Morel, OCA, A.Moya, OBSPM, Mars 2005, diffusion du moment cinétique

**********************************

 Type <RETURN> for next page:
```

Le test de fonctionnement est terminé.

Lorsque le dessin "on line" est effectué, suivant la définition de l'écran utilisé, il arrive que les cadres soient tronqués et/ou n'utilisent pas la surface disponible de façon satisfaisante. Il y a lieu, ou bien d'adapter les dimensions des cadres dans les routines `des_m` et `des_r` du sous directory `SOURCE`, *cf.* § 1.4 (Page 16), ou bien de personnaliser le dessin suivant les instruction du § 3.9 (Page 59)

1.7 Mise en forme des données physiques

CESAM2k utilise les données physiques tabulées *i.e.* EOS, opacités *etc...* sous forme de fichiers binaires qu'il faut créer à partir des données `ASCII` du sous-directory `SUN_STAR_DATA` dans lequel on se placera.

PB Il est possible, ce qui est évidemment déconseillé, mais parfois incontournable, d'effectuer des calculs avec des tables d'opacité ou d'équation d'état, dont les abondances en éléments lourds Z diffèrent, ou qui ne correspondent pas à la valeur réelle de Z.

***Les fichiers binaires de données créés pour une version précédente de* CESAM *sont utilisables avec* CESAM2k.

1.7.1 Opacités "Yveline"

Décompresser le fichier `opa_yveline.data.gz` et le programme `ascii2bin_opa.f.gz` : `gunzip opa_yveline.data.gz ascii2bin_opa.f.gz`
Effectuer la transformation ASCII ==> binaire, en exécutant[7] le programme `ascii2bin_opa` :

```
exe2k ascii2bin_opa
```

A la question :

```
traduction ASCII ---> binaire (o/n?)
o <==
```

on obtient :

```
ASCII ---> binaire
enter the name of the existing ASCII opacity table: opa_yveline.data
```

répondre :

```
opa_yveline.data <==
```

on obtient :

```
enter the name of the binary table: opa_yveline.bin
```

répondre :

```
opa_yveline.bin <==
```

à la question suivante répondre c, éventuellement recompresser le fichier en ASCII et supprimer l'exécutable. On obtient :

```
PAUSE: OK c'est fait
pour arreter entrer q, poursuivre entrer c
c <==
```

Recompresser les données ASCII : `gzip opa_yveline.data <==` et effacer l'exécutable : `rm ascii2bin_opa.out <==`.
On trouve un complément d'information dans le fichier `extract_opa_yveline_explik`.

[7] Avec F95 il est pratique d'utiliser les procédures du sous-directory `SCRIPTS`.

1.7.2 Opacités OPAL pour $Z > 0.1$

Les opacités OPAL standard n'existent que pour une abondance des métaux inférieure à $Z < 0.1$. Lors de la combustion de l'hélium, dès que l'abondance d'hélium devient inférieure à $Y < 0.9$, `opa_yveline` fait appel au package `z14xcotrin21` d'Arnold I. Boothroyd. Diverses routines permettent de tenir compte de la nucléosynthèse des éléments lourds, en introduisant des corrections aux opacités OPAL. Bien que son implantation dans CESAM2k ne recouvre pas toutes les situations envisagées, son ***USAGE est DELICAT***. Lors de la première utilisation, le système peut demander de décompresser des routines du sous-directory `SUN_STAR_DATA`.

1.7.3 Opacités HOUDEK

Package de calcul de l'opacité OPAL, Iglesias & Rogers (1991), par les routines d'interpolation par splines birationnelles de Houdek & Rogl (1996); il est exploité par la routine externe `opa_houdek9`. Ce package, de nom `opint_v9f.tar.gz` peut être obtenu "via anonymous ftp from ftp.ast.cam.ac.uk in the sub-dir `pub/hg/opacity`".

Il est constitué du fichier `opint_v9f.tar.gz` du sous-directory `SUN_STAR_DATA` qu'il faut décompresser et détarer :

```
gunzip opint_v9f.tar.gz <==
tar -xvf opint_v9f.tar <==
v9/
v9/.make.state
v9/.nse_depinfo
v9/.sbinit
v9/Makefile
v9/OPINTPATH_92
v9/OPINTPATH_95
v9/README
v9/Release_history
v9/a2b95.f

.............................

v9/rksuite/Makefile
v9/rksuite/chkfl.f
v9/rksuite/.make.state
v9/alex94bext.f
v9/dopdalex94.f
v9/OPINTPATH_AX
v9/exakop95.f
```

Il est prudent de recompresser le fichier `opint_v9f.tar`. En suivant les instructions du README, éditer le makefile du directory `v9` et adapter le compilateur et l'optimiseur à la machine UNIX dont on dispose.
Exécuter le MAKEFILE : `make`.

Dans le fichier `v9/OPINPATH_AX`, remplacer les "./" par les chemins `./v9/opal95/opal95e.bin`, par exemple :

`/home/bilou/SUN_STAR_DATA/v9/opal95/opal95e.bin`

faire de même pour `v9/OPINPATH_91` et `v9/OPINPATH_95`.

PB `Dans la routine d'appel opa_houdek9, le chemin d'accès aux données : tabnam=TRIM(nom_chemin)//TRIM(f_opa(2)) fait appel au` **second** `fichier f_opa(2) d'opacité, ainsi qu'il est codé dans la NAMELIST NL_OPA du test du` § 2.3 (Page 32).
Définir les paramètres `iorder` et `imode` en se référant à la notice constituée par le fichier `./doc/notes.ps` du directory `v9`. Dans le script `exe2k` indiquer au LINK le chemin d'accès à la bibliothèque `libopint.a`.

PB `Pour l'utilisation de ces opacités, dans le module mod_opa et la routine opa, décommenter les instructions concernant opa_houdek9 et reformer l'exécutable cesam2k.out,` *cf.* § 1.5 (Page 16).

PB `L'implantation de opa_houdek9 est` **informatiquement délicate**.

1.7.4 Equation d'état OPAL

1.7.4.1 OPAL 1991

L'équation d'état OPAL, Iglesias & Rogers (1991), est appelée par la routine `etat_opal`. La source et les tables d'équation d'état ont été repris du site WEB `ftp://www-phys.llnl.gov/pub/opal/eos/`, où l'on trouve un "README" expliquant la marche à suivre pour construire une table ASCII d'équation d'état pour une valeur de Z fixée. On transforme ensuite cette table ASCII en fichier binaire.

PB `Certains des sous-programmes du package original d'OPAL ont été modifiés pour l'exploitation avec` CESAM2*k*; `en particulier, le blockdata a été supprimé.`

Les fichiers ASCII compressés `peos*.gz` contiennent les données pour l'équation d'état OPAL. Se placer dans le sous-directory `SUN_STAR_DATA`, décompresser ces fichiers : `gunzip peos*`.

Exécuter le programme `ZFSinterppeos` après en avoir décompressé la source : `ZFSinterppeos.f.gz`

```
exe2k ZFSinterppeos <==
Encountered 0 errors, 0 warnings in file ZFSinterppeos.f.
type Z:
0.02 <==
```

entrer la valeur de Z, fraction de masse de l'abondance des métaux; on obtient :

```
        0.020
 0.0000   0.0000          3.0000000              4.0036974
 0.0000   0.0200          3.0301077              4.0629535
 0.0000   0.0400          3.0611377              4.1251554
 0.2000   0.0000          2.5018048              2.5114787
```

```
   0.2000   0.0200          2.5158978                2.5350964
   0.2000   0.0400          2.5302570                2.5591605
   0.4000   0.0000          2.2741616                1.8296305
   0.4000   0.0200          2.2828465                1.8421309
   0.4000   0.0400          2.2916493                1.8548033
   0.6000   0.0000          2.1437435                1.4389958
   0.6000   0.0200          2.1498623                1.4467140
   0.6000   0.0400          2.1560483                1.4545176
   0.8000   0.0000          2.0592246                1.1858406
   0.8000   0.0200          2.0638888                1.1910768
   0.8000   0.0400          2.0685947                1.1963595
```

Le fichier ASCII `EOSdata` occupant environ 9Mo a été créé.
Editer la source du programme `opal_ascii_bin`, et donner au fichier binaire le nom désiré, par exemple :

```
.....................................

     CLOSE(unit=60)   <===   ligne 117 de opal_ascii_bin.f

c    f_eos='eos_opal_190.bin'
     f_eos='eos_opal_195.bin'
c    f_eos='eos_opal_330.bin'
c    f_eos='eos_opal_180.bin'
c    f_eos='eos_opal_170.bin'
c    f_eos='eos_opal_130.bin'
c    f_eos='eos_opal_050.bin'

     WRITE(*,6)f_eos
6    FORMAT('debut ecriture sur le fichier binaire: ',a50)
     CLOSE(unit=60)

.....................................
```

Exécuter le programme `opal_ascii_bin` ainsi modifié :

```
exe2k opal_ascii_bin <==
Encountered 0 errors, 0 warnings in file opal_ASCII_bin.f.
donnees prises dans le fichier: EOSdata
lecture, et c'est long, de ce fichier
 fin de lecture des tables OPAL
 debut ecriture sur le fichier binaire: eos_opal_195.bin
 fin ecriture sur le fichier binaire
 donnees prises dans le fichier binaire: eos_opal_195.bin
 lecture, des donnees EOS opal, et c'est long
 fin de lecture des donnees EOS opal en binaire
 test relecture effectue
```

Supprimer les modules exécutables :

```
rm *.out <==
rm: remove regular file ‘ZFSinterppeos.out’? y <==
rm: remove regular file ‘opal_ascii_bin.out’? y <==
```

Enfin, recompresser les fichiers ASCII, et supprimer les fichiers EOSdata et fort.2 désormais inutiles :

```
gzip peos* <==
rm EOSdata <==
rm: remove regular file ‘EOSdata’? y <==
rm fort.2 <==
rm: remove regular file ‘fort.2’? y <==
```

1.7.4.2 OPAL 2001

Les équations d'état 2001 offrent une alternative pour la métallicité : ou bien, comme dans la version 1991, on crée une table pour une métallicité donnée, et l'abondance d'hydrogène doit être dans l'intervalle $X \in [0, 0.8]$, ou bien $X \in [0, 1]$ mais $Z = 0$, *cf.* § 2.7 (Page 37).

- Avec $Z \neq 0$, se placer dans le sous-directory `SUN_STAR_DATA`, et y créer le fichier d'équation d'état correspondant à la métallicité requise en exécutant le programme `Z_interp_IEOS` :

  ```
  bilou@port-morel% exe2k Z_interp_IEOS
  Encountered 0 errors, 0 warnings in file Z_interp_IEOS.f.
  type Z:  0.025  <===== entrer la valeur de Z
     0.025000000
  bilou@port-morel%
  ```

  Il y a création d'un fichier ACSII compressé de nom `EOSdata.gz`. Transformer ce fichier en binaire, en lui donnant le nom avec lequel il sera identifié par la suite. Pour ce faire, entrer ce nom dans le programme `opalZ_ascii_bin` (vers la ligne 135) :

  ```
  c f_eos='eos_opal_190.bin'
  c f_eos='eos_opal_195.bin'
  f_eos='eos_opal_250.bin'  <========
  c f_eos='eos_opal_330.bin'
  c f_eos='eos_opal_180.bin'
  ```

  puis exécuter ce programme qui comporte un test de lecture :

  ```
  bilou@port-morel% exe2k opalZ_ascii_bin
  Encountered 0 errors, 0 warnings in file opalZ_ascii_bin.f.
  Fichier de données inconnu : EOSdata
  décompression du fichier ASCII de données : EOSdata.gz
  ```

```
données ASCII prises dans le fichier: EOSdata
lecture, et c'est long, de ce fichier
 fin de lecture des tables OPAL
début des écritures sur le fichier binaire: eos_opal_250.bin
fin des écritures en binaire, test de relecture
 données prises dans le fichier binaire: eos_opal_250.bin
 décompression du fichier
 lecture, des données EOS opal, et c'est long
recompression du fichier binaire eos_opal_250.bin
 fin de lecture des données EOS opal en binaire
 test de relecture réussi
bilou@port-morel%
```

Eventuellement supprimer `EOSdata.gz` :

```
rm EOSdata.gz
```

- Avec $Z = 0$, l'interpolation utilise le fichier `EOSdata_H-He` qu'il suffit de transformer en binaire en exécutant le programme `opalX_ascii_bin` du sous-directory `SUN_STAR_DATA`.

1.7.5 Equation d'état MHD

Package de l'équation d'état MHD, Mihalas et al. (1988), appelé par la routine `etat_mhd`. Ce package a été fourni par W. Däppen. Les 8 tables `mhd1_oc_tau.tab` ... `mhd8_oc_tau.tab` qui se trouvent sur le serveur anonyme usc.edu, dans le répertoire `pub/astro-physics/mhd-oc-tau/wd-evo`, sont disposées dans le sous-directory `SUN_STAR_DATA` sous les noms `mhd1.tab.gz` ... `mhd8.tab.gz`. Se placer dans le sous-directory `SUN_STAR_DATA`, décompresser ces tables en ASCII : `gzip mhd* <==` et la source du programme `fmttob` : `gzip fmttob.f.gz`. Transformer les tables en binaire en exécutant `fmttob <==`

```
exe2k fmttob
Encountered 0 errors, 0 warnings in file fmttob.f.
 decompression

Press Enter to Continue. <==

 enter main
 ZAMS-type: filename of input (formatted) table #  1
 enter filename of output (unformatted) table #  1
 ZAMS-type: filename of input (formatted) table #  2
 enter filename of output (unformatted) table #  2
 ZAMS-type: filename of input (formatted) table #  3
 enter filename of output (unformatted) table #  3
 center-type: filename of input (formatted) table #  4

 ..................................
```

```
     4.002600        7.7222100E-02   0.2299999

     12.01100        4.2665000E-04   3.8132454E-03

     14.00670        1.0717000E-04   1.1169993E-03

     15.99940        9.1215000E-04   1.0859599E-02

     20.17900        2.8039000E-04   4.2102317E-03

 mean molecular weight =    1.2455340


bilou@port-morel%
```

Supprimer les exécutables :

```
rm *.out <==
rm: remove regular file fmttob.out ?  y <==
```

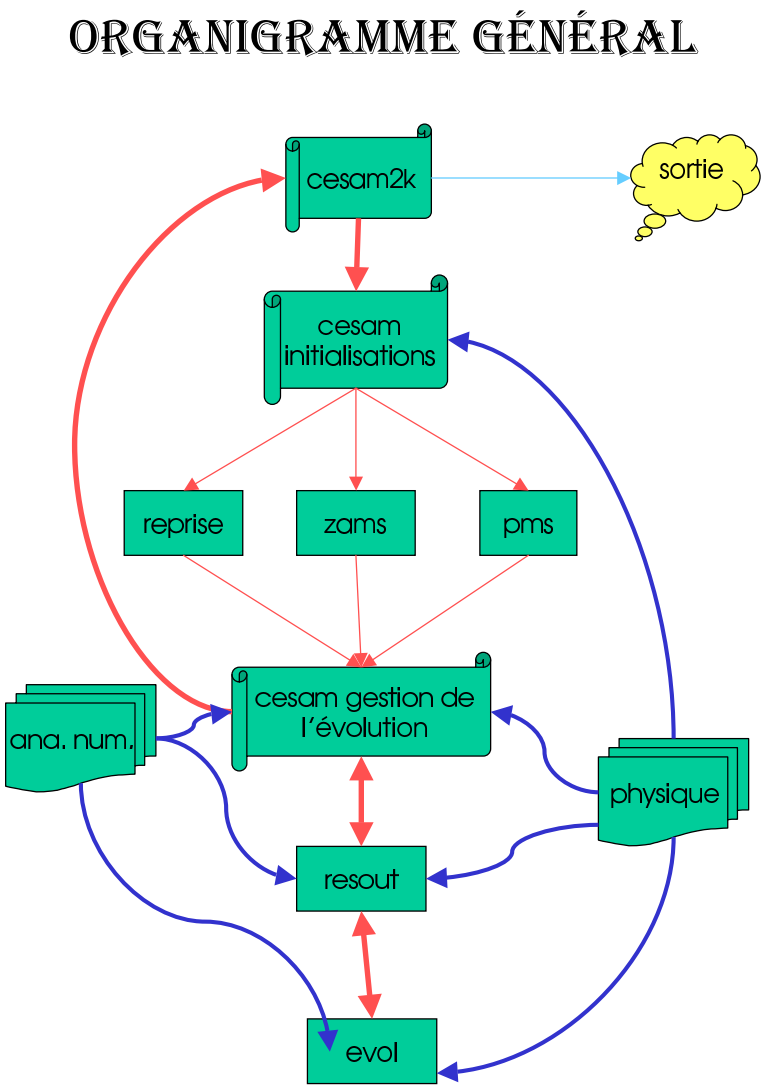

Figure 1.1: Schéma de l'organigramme général de CESAM2k. Le programme `cesam2k`, compilé une fois pour toutes, fait appel à la routine `cesam` qui constitue en fait, le programme principal. Dans `cesam`, après des initialisations, on sépare le traitement des 3 possibilités : poursuite d'une évolution, initialisation sur la ZAMS homogène, initialisation d'une PMS. Le calcul se poursuit par des opérations de gestion de l'évolution, listing, création de fichiers de sortie, dessin, etc... Est ensuite fait appel à `resout`, où les équations de l'équilibre quasi-statique sont résolues en alternance avec celles de l'évolution du moment cinétique et de la composition chimique. Ces dernières sont résolues séparément dans `evol`. Une fois la convergence obtenue, il y a retour vers les algorithmes de gestion de l'évolution de `cesam` et, de là, poursuite de l'évolution ou retour à `cesam` pour sortie. Les routines d'analyse numérique et de physique sont sollicitées à différents niveaux de calcul.

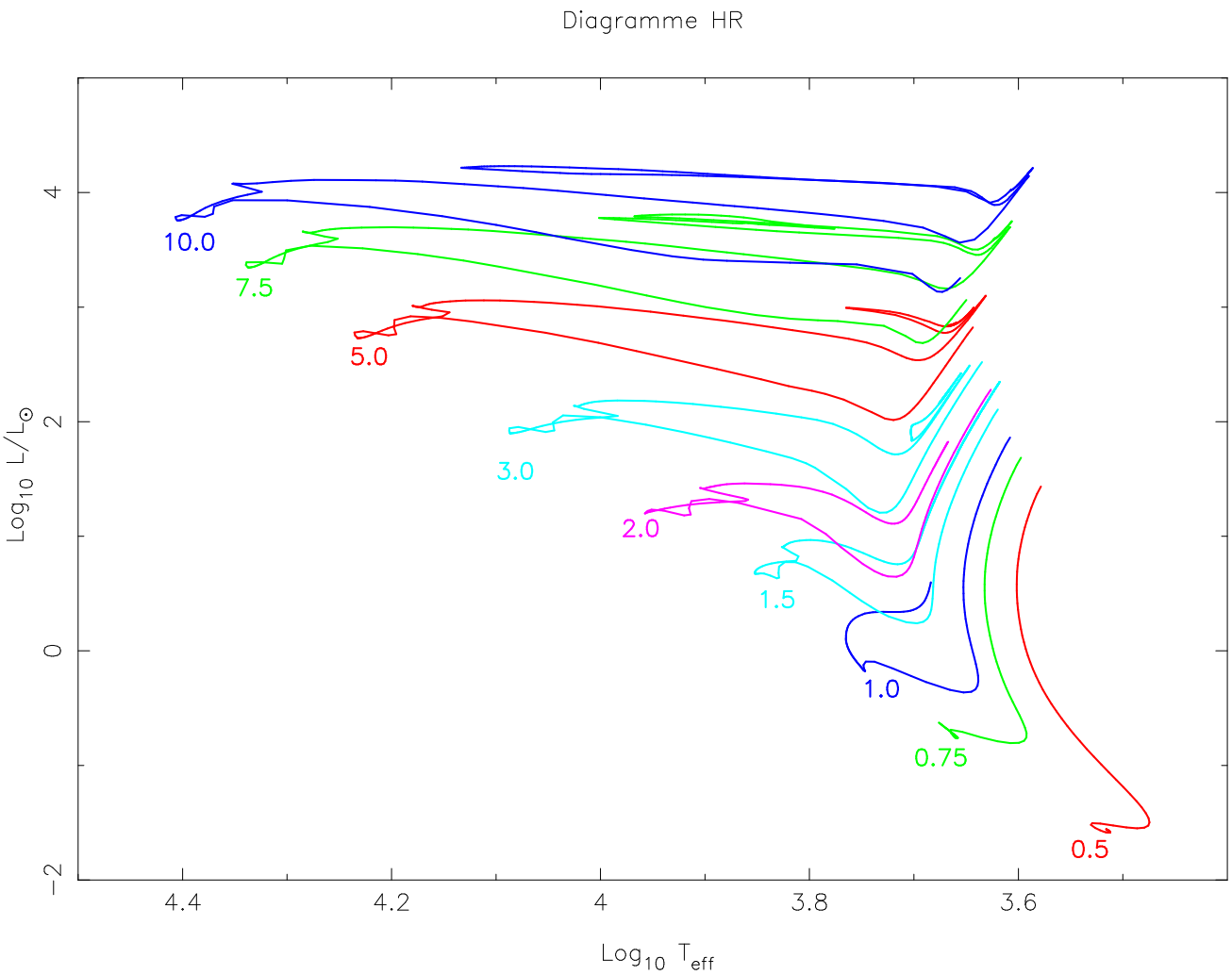

Figure 1.2: Tracés évolutifs incluant la pré-séquence principale pour des étoiles de $0.5M_{\odot}$ à $10M_{\odot}$. Ces tracés ont été obtenus avec le fichier de données du § 2.3 (Page 32).

Chapter 2

Exploitation

Va despacio, estoy de prisa.

Proverbe Mexicain.

2.1 Conseils pour l'exploitation

Un code numérique, aussi bien fait soit-il, ne peut être clefs en mains. Pour entamer une exploitation, on doit toujours être guidé par la remarque triviale :

> *Un programme qui ne fonctionne pas ou mal pour des cas simples*
> *ne fonctionnera pas ou encore plus mal pour des cas compliqués.*

Un code de structure interne n'échappe, hélas pas, à cette règle. A cet effet, bien que CESAM ait prévu différents types de "précision" standard, il est presque toujours nécessaire, à l'aide de "réglages", d'optimiser les paramètres numériques en fonction des conditions rencontrées au cours du calcul. Aborder un problème en introduisant *ad initio* toute la complexité que l'on désire atteindre est une perte de temps, car il faudra très rapidement reprendre des cas simples, afin d'acquérir une expérience sur la façon dont l'évolution se déroule. Il est conseillé de "dégrossir" le problème en utilisant des options numériques et physiques robustes et efficaces, afin d'apprécier rapidement "ce qui se passe", puis d'introduire progressivement la complexité souhaitée.

PB `Les descriptions des routines données plus avant ne sont que succinctes, se reporter aux commentaires des routines pour plus d'informations.`

2.2 Le fichier de données : `mon_modele.don`

Les options physiques à utiliser et les données sont transmises au programme principal par des `NAMELIST` regroupées dans un fichier en ASCII dont le nom a **nécessairement** l'extension `.don`, par exemple : `mon_modele.don`. On a disposé un exemple de ce fichier dans le sous-directory `EXPLOIT`.

- `& NL_CESAM` : regroupe les conditions générales du calcul.
- `& NL_MASS` : regroupe les paramètres physiques relatifs à la variable spatiale.
- `& NL_EVOL` : regroupe les paramètres physiques relatifs à la variable temporelle.
- `& NL_CHIM` : regroupe les paramètres physiques relatifs à la composition chimique.
- `& NL_CONV` : regroupe les paramètres physiques relatifs à la convection.
- `& NL_DIFF` : regroupe les paramètres physiques relatifs à la diffusion.
- `& NL_ROT` : regroupe les paramètres physiques relatifs à la rotation.
- `& NL_ETAT` : regroupe les noms des fichiers, *d'accès externe.* éventuellement nécessaires au calcul de l'équation d'état.
- `& NL_OPA` : regroupe les noms des fichiers, *d'accès externe*, éventuellement nécessaires au calcul de l'opacité.
- `& NL_NUC` : définit des options relatives au calcul des taux de réactions thermonucléaires.
- `& NL_ATM` : regroupe les paramètres physiques relatifs à la restitution de l'atmosphère.

2.3 Exemple de fichier de données

Cet exemple est volontairement différent de celui utilisé au § 1.6 (Page 18).

```
&NL_CESAM
NOM_CHEMIN='~/SUN_STAR_DATA/',
NOM_CTES='ctes_94',
NOM_DES='des_r',
NOM_OUTPUT='no_output',
N_MAX=2000,
PRECISION='pr'
/
&NL_MASS
MTOT=2.d0,
NOM_PERTM='pertm_ext',
MDOT=0.d0
/
&NL_EVOL
AGEMAX=5.d3,
ARRET='else',
DTLIST=1.d10,
LOG_TEFF=10.d0,
NB_MAX_MODELES=2000,
```

```
HE_CORE=0.1d0,
T_STOP=5.d7,
X_STOP=0.1d0
/
&NL_CHIM
GRILLE_FIXE=.FALSE.,
NOM_ABON='solaire_gn',
MODIF_CHIM=.FALSE.,
GARDE_XISH=.FALSE.,
X0=0.70,
Y0=0.28,
ZSX0=0.0d0
/
&NL_CONV
NOM_CONV='conv_jmj',
ALPHA=1.8d0,
OVSHTS=0.d0,
OVSHTI=0.d0,
JPZ=F,
CPTURB=0.d0,
LEDOUX=F
/
&NL_DIFF
DIFFUSION=.TRUE.,
NOM_DIFFM='diffm_mp',
NOM_DIFFT='difft_nu',
D_TURB=10.d0,
RE_NU=1.d0,
NOM_FRAD='no_frad'
/
&NL_ROT
ROT_SOLID=.TRUE.,
W_ROT=0.d0,
UNIT='kms/s',
W_FORM=0.d0,
NOM_DIFFW='diffw_mpz',
NOM_PERTW='pertw_0',
P_PERTW=0.d0,
PW_EXTEND=0.d0
/
&NL_ETAT
NOM_ETAT='etat_eff',
F_EOS='eos_opal_250.bin',7*' '
/
&NL_OPA
NOM_OPA='opa_yveline',
F_OPA='opa_yveline.bin','v9/OPINTPATH_AX',6*' '
```

```
/
&NL_NUC
NOM_NUC='ppcno9',
NOM_NUC_CPL='NACRE',
MITLER=F
/
&NL_ATM
NOM_ATM='lim_atm',
NOM_TDETAU='hopf',
TAU_MAX=5.d0,
LIM_RO=.TRUE.
/
```

PB Les noms de routines sont ***case sensitive***, par exemple, il faut coder NACRE et non nacre.

2.4 Arguments de la NAMELIST NL_CESAM

- NOM_CHEMIN='~/SUN_STAR_DATA/' : chemin et nom du répertoire où sont disposées les données physiques, les tables d'opacité par exemple.
- NOM_CTES : indique le nom de la routine d'initialisation des principales constantes de physique à utiliser :
  - ctes_85 : constantes de physique proposées par GONG,
  - ctes_94 : constantes de physique récentes.
- NOM_DES : nom de la routine de dessin à utiliser :
  - des_m : dessin en fonction de la masse, utilise PGPLOT,
  - des_r : dessin en fonction du rayon, utilise PGPLOT,
  - no_des : pas de dessin, à utiliser ,en particulier, si on ne dispose pas du logiciel PGPLOT, voir § 1.3 (Page 14),
  - zoom : forme personnalisée du dessin décrite au § 3.8 (Page 57).
- NOM_OUTPUT : type de fichier ASCII à générer à l'issue du calcul :
  - osc_adia : génération du fichier ASCII de nom mon_modele-ad.osc pour le calcul des oscillations adiabatiques et les dessins,
  - all_adia : génération de ***TOUS*** les fichiers ASCII de noms mon_modele-ad*xxxx*.osc pour le calcul des oscillations adiabatiques et les dessins, *xxxx* étant le numéro du modèle,
  - osc_invers : génération du fichier ASCII de nom mon_modele-inv.osc pour les inversions,
  - all_invers : génération de ***TOUS*** les fichiers ASCII de noms mon_modele-inv*xxxx*.osc pour les inversions,

  - osc_nadia : génération du fichier ASCII de nom mon_modele-nad.osc pour le calcul des oscillations non adiabatiques,
  - all_nadia : génération de ***TOUS*** les fichiers ASCII de noms mon_modele-nad***xxxx***.osc pour le calcul des oscillations non adiabatiques, *xxxx* étant le numéro du modèle,
  - no_output : il n'y a pas de génération de fichier ASCII,
  - ascii : forme personnalisée du fichier ASCII mon_modele-ascii décrite au § 3.6 (Page 53),
  - all_ascii : génération de ***TOUS*** les fichiers ASCII de forme personnalisée mon_modele-ascii***xxxx***, *xxxx* étant le numéro du modèle.

- N_MAX=1000 : le nombre maximum de couches[1] est défini par MAX(N_MAX,n_max); les deux variables internes n_max et le nombre minimal de couches n_min sont définis dans la routine cesam, suivant le niveau de précision requis.

- PRECISION='sp' : niveau de précision requis, on trouve dans la Table 2.1 (Page 36) les valeurs des paramètres numériques utilisées suivant les différentes options définies dans la routine cesam. Les valeurs conseillées sont :

  - 'np' (précision normale) pour se donner une idée générale d'une évolution,
  - 'pr' (précision réaliste) pour une évolution normale,
  - 'sp' (super précision) et 'sa' (précision solaire) si on recherche une précision extrême.
  - 'mx' (maximum de couches) identique à 'sp' le calcul se faisant avec un nombre ***fixe*** de couches, égal à N_MAX.

  Les constantes de répartition sont fixées indépendamment du type de précision. Les valeurs sont celles retenues dans CESAM4 à savoir : ctel=0, ctep=-1, ctem=15, cter=0, ctet=0. Pour utiliser des paramètres différents *cf.* § 3.7 (Page 54).

2.5 Arguments de la NAMELIST NL_MASS

- MTOT=1.d0 : masse totale initiale, en $M_\odot$,

- NOM_PERTM : nom de la routine de perte de masse :

  - pertm_ext : perte/gain de masse externe linéaire en fonction du temps.
  - pertm_msol : perte/gain de masse externe linéaire en fonction du temps, la masse de l'étoile restant au moins égale à $1\,M_\odot$,

[1] La nature des paramètres numériques et logiques est identifiable par les valeurs données à titre indicatif.

Table 2.1: Valeurs des paramètres numériques suivant les diverses options de précision prévues. Les valeurs de ces paramètres peuvent être adaptées au type d'évolution, en utilisant l'option `'rg'`, *cf.* § 3.7 (Page 54); on utilise alors les paramètres indiqués dans le fichier de nom `reglages` placé dans l'environnement. Les dénominations s'interprètent de la façon suivante : `sp` : super précision, `pr` : précision réaliste, `lm` : pour petites masses (low mass), `sa` : pour modèles avec précision solaire (solar accuracy), `np` : pour modèles de précision normale, `co` : pour modèles destinés à l'exploitation des résultats du satellite CoROT. La signification des différents paramètres numériques est explicitée au § 3.7 (Page 54) et dans la routine `cesam` du sous-directory `SOURCE`, lignes 741-766; d'autres options sont prévues, certaines utilisent les abscisses eulériennes; elles ne sont pas détaillées ici.

	sp	pr	lm	sa	np	co
m_qs	2	2	2	2	1	2
m_ch	2/3*	2/3*	2/3*	2/3*	2	2/3*
psi0	0.05	0.05	0.08	0.05	0.08	0.04
m_rot	2	2	2	2	2	2
m_rl	2	2	2	2	2	2
m_tds	2	2	2	2	2	2
m_ptm	2	2	2	2	2	2
ordre	2	2	2	2	1	2
precix	10^{-4}	10^{-3}	10^{-4}	10^{-5}	0.005	10^{-4}
precit	0.05	0.15	0.08	0.02	0.3	0.05
ro_test	0.1	0.1	0.1	0.1	0.1	0.1
d_grav	0.5	0.5	0.5	0.5	0.5	0.5
loc_zc	10^{-4}	10^{-3}	10^{-4}	10^{-5}	0.005	10^{-4}
dtmax	200	200	300	200	300	200
ini0	6	5	6	6	4	6
n_atm	100	75	75	100	50	100
kipp	.FALSE.	.FALSE.	.TRUE.	.FALSE.	.TRUE.	.FALSE.
en_masse	.TRUE.	.TRUE.	.TRUE.	.TRUE.	.TRUE.	.TRUE.
mvt_dis	.TRUE.	.TRUE.	.TRUE.	.TRUE.	.FALSE.	.TRUE.
n_max	1000	1000	1000	1000	1000	1000
dn_fixe	0.05	0.05	0.1	0.05	0.05	0.05

*2 sans diffusion, 3 avec diffusion

  - pertm_tot : perte/gain de masse externe, linéaire en fonction du temps et tenant compte de la perte de masse due aux réactions thermonucléaires ($E = mc^2$),
  - pertm_waldron : perte de masse empirique de Waldron cité dans A.Ap 229 (1990) 469-474.

- MDOT=1.d-14 : taux de perte/gain de masse, en $M_\odot$/an, ce taux est positif pour un gain de masse, négatif pour une perte de masse. Dans le cas standard, la composition chimique de l'apport/retrait de masse est celle de la couche la plus externe du modèle. Voir § 3.5 (Page 52) comment personnaliser, si besoin, cette composition chimique.

2.6 Arguments de la NAMELIST NL_EVOL

- AGEMAX=4.5d4 : âge maximal à atteindre en million d'années,
- ARRET='post' : arrêt sur la ZAMS ('zams'), à la fin de la ZAMS ('post'), au début de la combustion de l'hélium ('cohe') ou du carbone ('coca') ou autre ('else').
- DTLIST=1.d3 : intervalle de temps minimum, en million d'années, séparant deux listes détaillées du modèle (fichier mon_modele.lis),
- LOG_TEFF=-3.7d0 : arrêt si cette valeur de $\log_{10} T_{\rm eff}$ est traversée, dans le sens croissant si log_teff est positif, dans le sens décroissant si log_teff est négatif,
- NB_MAX_MODELES=500 : arrêt après avoir calculé le nombre de modèles indiqué, éventuellement 0; avec NB_MAX_MODELES < 0 ***tous*** les fichiers binaires seront écrits dans l'environnement, leurs noms mon_modele*xxxx*_B.*** comportant le numéro du modèle. Le numéro 0000 est affecté aux modèles d'initialisation de séquence principale d'âge zéro ou de pré-séquence principale; en cas de reprise les numéros reprennent à partir de celui du modèle repris.
- HE_CORE=0.1d0 : arrêt, dès que le cœur d'hélium atteint he_core M_odot, si toutefois cette éventualité peut être réalisée,
- T_STOP=1.d7 : arrêt, si au centre, la température dépasse cette valeur,
- X_STOP=-0.1d0 : arrêt si cette valeur de X, au centre, est traversée.

2.7 Arguments de la NAMELIST NL_CHIM

- GRILLE_FIXE=.TRUE. : on utilisera une grille fixe pour la composition chimique et la diffusion du moment cinétique,
- NOM_ABON : nom de la mixture initiale[2] :

[2] *cf.* équation d'état OPAL: WEB site http://www-phys.llnl.gov/V_Div/OPAL/opal.html.

  - `enhan_al` : abondances α-enhanced de Allard,
  - `enhan_cha` : abondances α-enhanced de Chaboyer,
  - `enhan_w` : abondances α-enhanced de Weiss,
  - `meteorites_ag` : abondances météoritiques de Anders & Grevesse 89,
  - `meteorites_gs` : abondances météoritiques de Grevesse & Sauval 98,
  - `mixture` : forme personnalisée de la compilation d'abondances décrite au § 3.2 (Page 51),
  - `solaire_gn` : mixture solaire de Grevesse & Noels 93,
  - `solaire_gs` : mixture solaire de Grevesse & Sauval 98.

  Ces abondances sont initialisées dans la routine `abon_ini`.

- `MODIF_CHIM=.FALSE.` : même s'ils existent dans l'environnement du calcul, CESAM2k ignorera les fichiers des types `modif_mix`, `rap_iso` et `vent` qui permettent de modifier respectivement la composition chimique initiale *cf.* § 3.4 (Page 52), les rapports isotopiques *cf.* § 3.3 (Page 51) et la composition chimique du vent *cf.* § 3.5 (Page 52). Cette disposition *recommandée* a un but **sécuritaire**. Elle permet d'éviter de prendre en compte des fichiers qui, par oubli, n'auraient pas été soustraits de l'environnement.

- `GARDE_XISH=.FALSE.` : ce paramètre fait l'objet du paragraphe suivant,

- `X0=0.7` : abondance initiale, par unité de masse, de H,

- `Y0=0.28` : abondance initiale, par unité de masse, de He,

- `ZSX0=0.d0` : valeur initiale de Z/X,

  - Les abondances du modèle initial sont déterminées à partir des quantités `X0`,`Y0`,`ZSX0`; en raison de la relation 1=X+Y+Z, seulement 2 de ces 3 quantités sont à prendre en considération. La valeur initiale de Y utilisée dans le calcul est toujours `Y0`; elle est fractionnée en les divers isotopes retenus pour décrire l'évolution de l'hélium,
  - si `zsx0` $\leq$ `0` l'abondance initiale d'hydrogène est initialisée à `x0`, Z=1-X-Y est déduit de `x0` et `y0`,
  - sinon, *i.e.* `zsx0` $>$ `0`, l'abondance initiale d'hydrogène est déduite de `y0` et de `zsx0`, la valeur indiquée pour `x0` est ignorée.

La valeur initiale de X utilisée dans le calcul est fractionnée en les divers isotopes retenus pour décrire l'évolution de l'hydrogène.
Avec diffusion et/ou après un premier dredge-up, la composition chimique des couches extérieures, *i.e.* celle observée, diffère de la composition chimique initiale. Il y a lieu d'ajuster la valeur initiale de la composition chimique, afin d'obtenir celle observée à l'issue d'une évolution. A l'initiative de F.Thévenin, CESAM2k offre divers outils pour réaliser cet ajustement :

- Conserver le rapport Z/X de la mixture initiale, au lieu de zsx0, objet du § 2.7.1 (Page 39),
- utiliser une mixture originale, *cf.* § 3.2 (Page 51),
- modifier les rapports isotopiques, *cf.* § 3.3 (Page 51),
- modifier les rapports d'abondances de la mixture initiale, *cf.* § 3.4 (Page 52).

2.7.1 Alternative : conservation métal/H ou métal/Z

Pour une mixture initiale, éventuellement modifiée ou non, *cf.* § 3.4 (Page 52), l'alternative GARDE_XISH=.TRUE. (*respt.* GARDE_XISH=.FALSE.) permet de fixer la valeur initiale de Z (*respt.* X) de façon à conserver le rapport métal/H (*respt.* métal/Z). La valeur initiale de Y est ***TOUJOURS*** la valeur lue dans le fichier de données, *i.e.* Y0.

Ainsi, en codant[3] GARDE_XISH=.TRUE., les rapports d'abondances métal/H, de la mixture utilisée seront ceux de la mixture initiale (par exemple solaire_gn), et non pas les rapports métal/Z de la mixture initiale. Autrement dit, la valeur initiale de Z/X utilisée pour le calcul est celle de la mixture initiale (0.0244 pour solaire_gn) et non pas celle introduite dans le fichier de données[4]. La valeur de Z correspondra à celle de la mixture initiale, et l'abondance initiale d'hydrogène par gramme sera X=1-Y-Z et non pas x0.

A l'inverse, en codant GARDE_XISH=.FALSE., les rapports métal/Z seront conservés[5], les abondances des métaux seront adaptées à la valeur de Z=1-X-Y lue – ou déduite – des valeurs du fichier de données; les rapports métal/H seront, de fait, modifiés. Pour une ***calibration solaire***, pour laquelle on vise à atteindre une valeur fixée de Z/X, en conservant, en principe, les rapports métal/Z initiaux, on codera donc garde_xish=.FALSE.

PB L'utilisation de GARDE_XISH=.TRUE. ***EST DÉLICATE***, il est conseillé de bien vérifier, dans le fichier mon_modele.lis, que les valeurs des abondances utilisées correspondent bien à ce que l'on désire.

PB Il faut être conscient que les modifications de la mixture ne seront pas prises en compte, ni dans les opacités, ni dans l'équation d'état.

2.8 Arguments de la NAMELIST NL_CONV

- NOM_CONV : nom de la routine calculant le gradient de température dans les zones convectives.

[3] De meilleures dénominations seraient, par exemple : GARDE_XISH_MIX, GARDE_XISH_MIX_INI, GARDE_ZSX ou encore GARDE_ZSX_MIX_INI,*etc...*

[4] Sauf dans le cas particulier où les valeurs de Y0 et ZSX0 du fichier de données correspondent **exactement** à celles de la mixture.

[5] De façon cohérente avec les tables d'opacités.

  - `conv_a0` : convection MLT, avec longueur de mélange $l \to 0$ aux limites ZR/ZC,
  - `conv_cgm_reza` : convection suivant Canuto & Mazitelli avec $l = \alpha H_{\rm p}$, tient compte de la prescription de Bernkopf,
  - `conv_cm` : convection suivant Canuto & Mazitelli avec $l = \alpha H_{\rm p}$,
  - `conv_cm_reza` : convection suivant Canuto & Mazitelli avec $l = \alpha H_{\rm p}$, tient compte de δ,
  - `conv_jmj` : convection MLT avec $l = \alpha H_{\rm p}$.

- `alpha=1.7d0` : longueur de mélange,
- `ovshts=0.05d0` : coefficient d'overshoot supérieur, une valeur positive affecte le gradient adiabatique à la partie overshootée, une valeur négative affecte le gradient radiatif,
- `ovshti=0.1d0` : coefficient d'overshoot inférieur, une valeur positive affecte le gradient adiabatique à la partie overshootée, une valeur négative affecte le gradient radiatif,
- `jpz=.FALSE.` : utilisation des prescriptions de JpZ,
- `cpturb=0.d0` : coefficient de pression turbulente,
- `ledoux=.FALSE.` : utilisation du critère de Ledoux[6].

PB `L'utilisation d'un paramètre de pression turbulente non nul est délicate.`

2.9 Arguments de la NAMELIST `NL_DIFF`

- `DIFFUSION=.TRUE.` : on tiendra compte de la diffusion microscopique des éléments chimiques, éventuellement de la diffusion du moment cinétique,
- `NOM_DIFFM` : nom de la routine calculant les coefficients de diffusion microscopique :
  - `diffm_br` : calcul des coefficients de diffusion microscopique suivant le formalisme de Burgers en tenant compte, éventuellement, des accélérations radiatives,
  - `diffm_mp` : calcul des coefficients de diffusion microscopique suivant le formalisme simplifié de Michaud & Proffit,
  - `diffm_0` : coefficients de diffusion microscopique nuls.
- `NOM_DIFFT` : nom de la routine calculant les coefficients de diffusion turbulente :

[6] A n'utiliser qu'avec précautions.

  - difft_nu : calcul des coefficients de diffusion turbulente incluant la diffusivité radiative.

- D_TURB=1.d1 : coefficient de diffusion turbulente isotrope,
- RE_NU=1.d0 : coefficient de diffusivité radiative,
- NOM_FRAD : nom de la routine de calcul des accélérations radiatives,
  - alecian1 : calcul des accélérations radiatives suivant le premier formalisme de G.Alécian,
  - alecian2 : calcul des accélérations radiatives suivant le second formalisme de G.Alécian,
  - no_frad : les accélérations radiatives seront ignorées.

PB Les accélérations radiatives ne sont pas disponibles dans la présente version de CESAM2*k*.

2.10 Arguments de la NAMELIST NL_ROT

- ROT_SOLID = .TRUE. : la vitesse angulaire locale sera la même en tout point du modèle:
  - w_rot >= 0 : le moment cinétique est localement conservé, ses variations locales sont transformées en énergie interne,
  - w_rot < 0 : le moment cinétique est globalement conservé, la vitesse angulaire locale wrot, la même en tout point du modèle, variera au cours du temps; elle sera réajustée au cours des itérations à l'issue du calcul du moment cinétique total, dont on assurera la conservation en faisant varier wrot.
- ROT_SOLID = .FALSE. : il y a diffusion du moment cinétique dans les zones radiatives, mélange dans les zones convectives. Les cas incohérents rot_solid =.FALSE. avec w_rot=0 ou DIFFUSION=.FALSE. sont éliminés.
- W_ROT=50.d0 : vitesse angulaire initiale.
- UNIT : unité utilisée pour la vitesse angulaire initiale. différents choix sont proposés de façon à s'adapter facilement aux observations :
  - jours : période initiale en jours, correspond à la vitesse angulaire initiale de rotation de la couche externe,
  - kms/s : vitesse de la couche externe en kilomètres/seconde,
  - rad/s : la vitesse angulaire initiale est en radians/seconde.
- W_FORM=0.d0 : coefficient de forme du profil de la vitesse angulaire initiale, w_form=0 correspond à une vitesse uniforme,

- `NOM_DIFFW` : nom de la routine du calcul des coefficients de diffusion du moment cinétique :
  - `diffw_mpz` : coefficients de Matis, Palacios & Zahn.
- `NOM_PERTW` : nom de la routine de calcul de perte de moment cinétique,
  - `pertw_sch` : variation de vitesse angulaire proportionnelle à Ω^3 (Schumanish),
  - `pertw_loc` : perte de moment cinétique proportionnelle à l'énergie cinétique de rotation locale,
  - `pertw_ptm` : perte de moment cinétique, conséquence d'une perte de masse,
  - `pertw_0` : pas de perte de moment cinétique.
- `P_PERTW=-1.d-9` : paramètre de perte de moment cinétique attaché respectivement à chacune des routines précédentes,
- `PW_EXTEND=1.d-2` : définit, en proportion de la masse totale, la partie externe de l'extension de la zone de perte de moment cinétique.

2.11 Arguments de la NAMELIST `NL_ETAT`

- `NOM_ETAT` : nom de la routine d'équation d'état :
  - `etat_ceff` : équation d'état de Eggleton et al., avec corrections Coulombiennes (*appel à* `etat_eff` *en cas de difficulté*).
  - `etat_eff` : équation d'état de Eggleton et al.(*appel à* `etat_gong2` *en cas de difficulté*).
  - `etat_gong1` : équation d'état de `gong1`, seuls H et He sont pris en compte et supposés totalement ionisés.
  - `etat_gong2` : équation d'état de `gong2`, seuls H et He4 sont pris en compte.
  - `etat_mhd` : équation d'état de Mihalas, Hummer & Dappen (*appel à* `etat_eff` *en cas de difficulté*) utilise les tables en binaire `mhd1.bin` ... `mhd7.bin` construites dans le sous-directory `SUN_STAR_DATA`, voir § 1.7.5 (Page 27).
  - `etat_opal` : équation d'état `opal` 1991, (*appel à* `etat_eff` *en cas de difficulté*) utilise les tables en binaire `eos_opal*.bin` construites dans le sous-directory `SUN_STAR_DATA`, voir § 1.7.4 (Page 24).
  - `etat_opalZ` : équation d'état de `opal` 2001, (*appel à* `etat_eff` *en cas de difficulté*) utilise les tables en binaire `eos_opalZ*.bin` construites pour **Z fixé** dans le sous-directory `SUN_STAR_DATA`, *cf.* § 1.7.4 (Page 24). Par rapport à la version 1991, les données de la version 2001 ont été étendues et améliorées, des bugs ont été corrigés. Les données ne permettent pas

de dépasser $X = 0.8$. Les fichiers de données 2001 et 1991 sont incompatibles.

- `etat_opalX` : équation d'état de `opal` 2001, se différenciant de `etat_opalZ` par l'extension du domaine de l'abondance d'hydrogène, $X \in [0, 1]$, dans le but de calculer des modèles sans zone convective externe étendue *avec diffusion*. Le prix à payer est $Z \equiv 0$, ce qui n'est pas très pénalisant, l'équation d'état étant peu sensible à Z. `etat_opalX` utilise **la** table en binaire `eos_opalX` construite pour **Z=0 fixé** dans le sous-directory `SUN_STAR_DATA`, *cf.* § 1.7.4 (Page 24).

- `F_EOS='eos_opal_250.bin',7*' '` : noms des fichiers d'équation d'état (au plus 8).

2.12 Arguments de la NAMELIST NL_OPA

- `NOM_OPA` : nom de la routine de calcul des opacités moyennes de Rosseland :
  - `opa_gong` : opacités simplifiées (Kramers amélioré).
  - `opa_houdek9` : opacités de Houdek version 9, (OPAL+Alexander), interpolation par rational B-spline; utilise les tables en binaire construites dans le sous-directory `SUN_STAR_DATA/V9`, voir § 1.7.3 (Page 23)
  - `opa_int_zsx` : Opacités OPAL93+Kurucz raccord d'Yveline, interpolations linéaires, très utiles pour des tests.
  - `opa_opal2.f` : Opacités OPAL avec corrections pour $Z > 0.1$ *cf.* § 1.7.2 (Page 23)
  - `opa_opalCO` : Opacités OPAL avec corrections pour $Z > 0.1$ ne portant que sur C et O.
  - `opa_yveline` : opacités OPAL+Alexander interpolation et raccord d'Yveline; utilise les tables en binaire `opa_yveline*.bin` construites dans le sous directory `SUN_STAR_DATA`, voir § 1.7.1 (Page 22).
  - `opa_yveline_lisse` : opacités OPAL+Alexander raccord d'Yveline, interpolation linéaire ou lissage; utilise les tables en binaire `opa_yveline*.bin` construites dans le sous-directory `SUN_STAR_DATA`, voir § 1.7.1 (Page 22).

- `F_OPA='opa_yveline.bin',7*' '` : noms des fichiers d'opacité (au plus 8).

2.13 Arguments de la NAMELIST NL_NUC

- `NOM_NUC` : nom de la routine de calcul des taux des réactions thermonucléaires et d'initialiation de la composition chimique :
  - `pp1` : calcul simplifié du cycle PP (ne permet pas la diffusion microscopique).

  - `pp3` : réactions PP, 3 éléments H, He3, He4 avec H2, Li7, Be7 à l'équilibre; a pour vocation les tests de mise au point, permet la diffusion microscopique.
  - `ppcno9` : réactions PP+CNO, 9 éléments, H2, Li7, Be7 à l'équilibre.
  - `ppcno9Fe` : réactions PP+CNO, 9 éléments+Fe, H2, Li7, Be7 à l'équilibre.
  - `ppcno10` : réactions PP+CNO, 10 éléments, H2, Be7 à l'equilibre.
  - `ppcno10Fe` : réactions PP+CNO, 10 éléments+Fe, H2, Be7 à l'équilibre.
  - `ppcno10BeBFe` : réactions PP+CNO, 10 éléments + Li6, Be9, B11, Fe avec H2 et Be7 à l'équilibre.
  - `ppcno11` : réactions PP+CNO, 11 éléments, Be7 à l'équilibre.
  - `ppcno12` : réactions PP+CNO, 12 éléments.
  - `ppcno12Be` : réactions PP+CNO, 12 éléments + Be9.
  - `ppcno12Li` : réactions PP+CNO, 12 éléments + Li6.
  - `ppcno12BeBFe` : réactions PP+CNO, 12 éléments + Li6, Be9, B11, Fe.
  - `ppcno3a12Ne` : réactions PP+CNO+3α, 12 éléments dont Ne22, H2, Li7, Be7 à l'équilibre.
  - `ppcno3a9` : réactions PP+CNO+3α, 9 éléments, H2, Li7, Be7 à l'équilibre.
  - `ppcno3ac10` : réactions PP+CNO+3α+C, 10 éléments H2, Li7, Be7 à l'équilibre.

- `nom_nuc_cpl` : nom de la compilation des réactions thermonucléaires :
  - `Adelb` : Compilation d'Adelberger et al. [1998].
  - `Cau-Fow` : Compilation de Caughlan & Fowler [1988].
  - `NACRE` : Compilation de NACRE (Angulo et al. [1999]).
- `MITLER=.FALSE.` : effet d'écran selon Mitler.

2.14 Arguments de la NAMELIST `NL_ATM`

- `NOM_ATM` : nom de la routine de restitution de l'atmosphère :
  - `lim_atm` : restitution de l'atmosphère à partir d'une loi $T(\tau)$,
  - `lim_gong1` : restitution simplifiée de l'atmosphère, cas de GONG1,
  - `lim_tau1` : restitution simplifiée de l'atmosphère, atmosphère monocouche.
- `NOM_TDETAU` : nom de la loi $T(\tau)$ utilisée pour la restitution de l'atmosphère :
  - `edding` : loi $T(\tau)$ totalement radiative d'Eddington.

  - `hopf` : loi $T(\tau)$ totalement radiative de Hopf.
  - `K5750` : loi $T(\tau)$ non totalement radiative, dérivée du modèle d'atmosphère solaire de Kurucz, $T_{\rm eff} = 5750\,{\rm K}$.
  - `K5777` : loi $T(\tau)$ non totalement radiative, dérivée du modèle d'atmosphère solaire de Kurucz, $T_{\rm eff} = 5777\,{\rm K}$.
  - `roger00` : loi $T(\tau)$ non totalement radiative, dérivée de modèles d'atmosphère de Kurucz, de métallicité $[\frac{\rm Fe}{\rm H}] = 0.0$.
  - `roger02` : loi $T(\tau)$ non totalement radiative, dérivée de modèles d'atmosphère de Kurucz, de métallicité $[\frac{\rm Fe}{\rm H}] = +0.2$.
  - `roger05` : loi $T(\tau)$ non totalement radiative, dérivée de modèles d'atmosphère de Kurucz, de métallicité $[\frac{\rm Fe}{\rm H}] = -0.5$.
  - `roger10a` : loi $T(\tau)$ non totalement radiative, dérivée de modèles d'atmosphère de Kurucz, de métallicité $[\frac{\rm Fe}{\rm H}] = -1.0$ avec éléments α "enhanced".

- `TAU_MAX=10.d0` : profondeur optique du raccord avec l'enveloppe,
- `LIM_RO=.TRUE.` : condition limite externe en densité, sinon en pression.

2.15 Fichiers de données des versions antérieures

CESAM2k accepte d'exploiter les fichiers de données de CESAM4 et CESAM5; dans ces versions antérieures, il fallait créer un module exécutable, adapté à la physique utilisée. Pour exploiter un fichier de données de CESAM4 ou de CESAM5 avec CESAM2k, il faut indiquer la physique à utiliser, et introduire les données manquantes. Pour ce faire, CESAM2k utilise les données et les options physiques explicitées dans un fichier de nom `physique45` placé dans l'environement du calcul. On trouvera un exemple du fichier `physique45` au § 3.10 (Page 59). En l'absence d'un tel fichier, des données et des options physiques sont définies par défaut dans la routine `lit_nl_45`, subordonnée de la routine `lit_nl`. Ces options physiques sont les suivantes :

```
NOM_CHEMIN='~/SUN_STAR_DATA/'
NOM_CTES='ctes_94'
NOM_DES='des_m'
NOM_OUTPUT='no_output'
NOM_PERTM='pertm_ext'
NOM_CONV='conv_jmj'
NOM_DIFFM='diffm_mp'
NOM_DIFFT='difft_nu'
NOM_ETAT='etat_eff'
NOM_OPA='opa_yveline'
NOM_NUC='ppcno9'
NOM_NUC_CPL='NACRE'
NOM_ATM='lim_atm'
NOM_TDETAU='hopf'
```

CESAM2k accepte aussi les fichiers de données de ses premières versions d'évaluation. Le but poursuivi dans l'exploitation des anciens fichiers de données est d'offrir la possibilité de poursuivre des calculs précédents, de ce fait, seules les fonctionnalités des anciennes versions peuvent être prises en compte.

2.16 Exemple d'exploitation sous UNIX/LINUX,

Sous UNIX/LINUX, il est conseillé de créer et de laisser le module exécutable `cesam2k.out` dans le sous-directory `SOURCE`. Il est pratique de créer un sous-directory propre à chaque application dans lequel, on disposera des fichiers de données de type `mon_modele.don` propres à l'application, et les fichiers d'initialisation tels que (`m020.zams`), de réglage et de personnalisation.
Par exemple, pour calculer des modèles de ξ Hya ($3M_\odot$) de la ZAMS jusqu'à 400 My :

- Créer un sous-directory `KSI_HYA`
- Copier les fichiers `m020.zams`[7] et `mon_modele.don` du sous-directory `EXPLOIT`.
- Renommer le fichier de données `ksi_hya.don`.
- Adapter la physique et les paramètres de ce fichier au problème de ξ Hya.

Pour utilisation ultérieure, lancer le calcul d'un modèle préliminaire de ZAMS (`AGEMAX = 0.d0`) adapté aux paramètres et à la physique adoptés; d'abord avec une précision réduite (`PRECISION='np'`) en utilisant le modèle d'initialisation en ASCII, puis avec (`PRECISION='pr'`) en utilisant le modèle binaire `ksi_hya_B.hom` obtenu à l'étape précédente. Copier le fichier `ksi_hya_B.hom` obtenu à l'issue de cette dernière étape dans le fichier `ksi_hya_ini_B.hom` ce dernier servant, par la suite, à initialiser le calcul de modèles utilisant des paramètres numériques ou physiques (longueur de mélange, théorie de la convection, précision, *etc...*) quelque peu différents de ceux qui ont été utilisés pour construire le fichier d'initialisation.
Dans le fichier `ksi_hya.don` indiquer l'âge à atteindre : (AGEMAX = 400.d0) et lancer l'exécution : `cesam2k.out` en l'initialisant avec `ksi_hya_ini_B.hom`.
Pour faire par la suite des modèles en changeant un ou plusieurs paramètres (âge, overshoot, *etc...*), il suffit d'adapter le fichier `ksi_hya.don` à chaque cas particulier.

2.17 Programmes d'exploitation

Des programmes du sous directory `EXPLOIT` permettent une exploitation des fichiers ASCII créés par CESAM2k :

- `calib2k` : Formation du fichier de données `mon_modele.don` pour calibration d'un modèle solaire.
- `des2k_ZC` : Dessin de l'évolution des zones convectives en fonction du temps.
- `des2k_abon` : Dessin des abondances en fonction de la masse ou du rayon.

[7] Utiliser des fichiers d'initialisation ASCII ou binaire de $3M_\odot$ si on en dispose.

- `des2k_abontc` : Dessin de l'évolution de X, Y, Z au centre, en fonction du temps.
- `des2k_abonts` : Dessin de l'évolution de X, Y, Z en surface, en fonction du temps.
- `des2k_bin` : Dessin des variables quasi-statiques à partir d'un fichier binaire.
- `des2k_dhve` : Dessin des variables de la rotation.
- `des2k_coeff_rota` : Dessin des coefficients de la rotation.
- `des2k_hr` : Dessin du diagramme HR.
- `des2k_osc` : Dessin de 1, 2 ou 3 modèles en fonction du rayon, de la masse avec des possibilités de zoom.
- `des2k_rot` : Dessins séparés des variables de la diffusion du moment cinétique.
- `des2k_rot_ext` : Dessin de la vitesse angulaire de la couche externe en km/s ou en rad/sec.
- `fichier_vent.f` : Programme de contruction d'un fichier de composition chimique du vent différente de celle des couches externes.
- `f037_2k` : Interpolation d'un modèle en des points de masse ou de rayon fixés.

2.18 Scripts d'exploitation

Les scripts UNIX suivants (en shell `csh`) du sous directory `SCRIPTS` facilitent l'installation et l'exploitation[8] de CESAM2k :

- `calib2k_pms` : procédure de calibration d'un modèle solaire avec PMS.
- `calib2k_zams` : procédure de calibration d'un modèle solaire initialisé sur la ZAMS homogène.
- `compile2k` : script de compilation avec optimisation.
- `compile2k-dbg` : script de compilation pour debug.
- `compile2k-dbg_list` : script de compilation pour debug pour un ensemble de routines d'une liste.
- `compile2k_list` : script de compilation avec optimisation pour un ensemble de routines d'une liste, avec création ou mise à jour d'une bibliothèque.
- `evol2k_pms` : procédure pour l'évolution à partir de la PMS homogène.
- `evol2k_zams` : procédure pour l'évolution à partir de la ZAMS homogène.

[8]Les options de compilation sont celles du compilateur LINUX LF95, il convient de les adapter à celles du compilateur utilisé.

- `exe2k` : procédure d'exécution d'un programme avec optimisation
- `exe2k-dbg` : procédure d'exécution d'un programme avec debug.
- `genere_cesam2k-dbg` : script créant la bibliothèque et l'exécutable `cesam2k-dbg.out` de debug,
- `genere_cesam2k` : script créant la bibliothèque et l'exécutable `cesam2k.out` d'exploitation,
- `lib_del` : script permettant de supprimer une routine d'une bibliothèque.
- `lib_del_repl` : script permettant de supprimer, puis de remplacer, une routine dans une bibliothèque.
- `lib_repl` : script permettant de remplacer une routine dans une bibliothèque.
- `on_voit` : script permettant de créer un fichier postscript à partir d'un fichier dvi.
- `rempl2k_mod` : script permettant de compiler, remplacer dans la bibliothèque, un ou plusieurs modules et de créer le module exécutable `cesam2k.out`.
- `rempl2k_mod-dbg` : script permettant de compiler, remplacer dans la bibliothèque, un ou plusieurs modules, et de créer le module de debug exécutable `cesam2k-dbg.out`.

Chapter 3

Personnalisation

Bien que l'exécutable soit construit un fois pour toutes, il est possible d'adapter de façon externe un certain nombre de paramètres. Ces adaptations s'effectuent, à la demande, par l'intermédiaire de fichiers *ad hoc* à disposer dans le sous-directory où s'effectue le calcul. Ne seront concernés que les modèles calculés dans cet environnement. De façon générale, dans le directory concerné, une personnalisation peut affecter, soit un modèle particulier, soit tous les modèles calculés dans ce directory. CESAM2k recherche d'abord si une personnalisation existe pour le modèle à calculer puis, à défaut, si elle existe pour tous les modèles du directory. Des exemples de tels fichiers de personnalisation se trouvent dans le sous-directory `EXPLOIT` de la distribution. On peut ainsi :

- Avoir des commentaires d'interactivité en une langue différente du français[1].
- Utiliser une mixture initiale différente de celles implémentées.
- Modifier les rapports d'abondances d'une mixture.
- Redéfinir les rapports isotopiques.
- Créer un fichier de sortie en ASCII contenant des quantités en nombre et ordre différents de ce qui est implémenté.
- Utiliser des réglages personnalisés.
- Dessiner des boites correspondant à des objectifs à atteindre, et adapter les échelles du diagramme HR tracé "on line".
- Adapter les dimensions des cadres et le nom du device à utiliser.
- Utiliser les fichiers de données d'une version antérieure de CESAM.

Par sécurité, ainsi qu'il est explicité pour chaque cas particulier, certains des fichiers de personnalisation concernant la composition chimique ne seront pris en compte que si le paramètre `modif_chim` de la NAMELIST `nl_chim` du fichier de données est `.TRUE.` *cf.* § 2.7 (Page 37).

[1] Seulement en anglais dans la présente version.

3.1 Langue

Une alternative pour avoir des commentaires d'interactivité en une langue différente du français :

1. Si on désire **toujours** avoir des commentaires en une langue différente du français, **avant** la compilation, dans la routine `cesam` du sous-directory `SOURCE`, commenter ou supprimer les instructions (vers les lignes 270-278) :

```
      INQUIRE(file='langue',exist=ok)
      IF(ok)THEN
       OPEN(unit=30,form='formatted',status='old',file='langue')
       READ(30,nl_langue) ; CLOSE(UNIT=30)
      ELSE
       WRITE(*,30)
30     FORMAT(/,'Sometimes CESAM can speak english,',/,
     1 'see aide_mem2k, chapter personnalisation ')
       langue='francais'
      ENDIF
```

   et remplacer l'instruction de la ligne suivante (279) :

```
c langue='francais'
```

   par :

```
c langue='francais' ===>    langue='english'
```

   Les commentaires en anglais seront désormais utilisés pour toute exploitation.

2. Si on désire n'avoir qu'occasionnellement les commentaires en anglais, introduire dans l'environnement d'exploitation un fichier de nom `langue` dans lequel on codera :

```
&NL_LANGUE
langue='english'
/
```

   Dans toutes les exploitations effectuées dans cet environnement les commentaires apparaitront en anglais.

Par défaut, *i.e.* en l'absence de l'une des dispositions précédentes, les commentaires seront en français.

PB Dans la version actuelle de CESAM2*k*, seulement une partie des principaux commentaires a été traduite en anglais.

PB **Call for man power** : il est facile de transposer dans une autre langue les algorithmes créés pour l'anglais ou encore compléter et/ou améliorer la syntaxe des ces derniers, les volontaires sont bienvenus.

3.2 Mixture

Pour utiliser une mixture initiale différente[2] de celles implémentées, coder `nom_abon='mixture'` dans le fichier de données et, dans l'environnement, placer un fichier de nom `mixture` contenant la mixture désirée en Dex. CESAM2k ***refuse*** toute mixture dont la normalisation est différente de H=12. L'exemple suivant se trouve dans le sous-directory `EXPLOIT` :

```
&NL_MIXTURE
ab(1)=12.00d0 , ab(2)=10.d0 , ab(3)=2.69d0  , ab(4)=2.15d0  , ab(5)=2.60d0
ab(6)=4.55d0  , ab(7)=3.97d0  , ab(8)=4.87d0  , ab(9)=1.56d0  , ab(10)=4.08d0
ab(11)=2.33d0 , ab(12)=3.58d0 , ab(13)=2.47d0 , ab(14)=3.55d0 , ab(15)=1.45d0
ab(16)=3.21d0 , ab(17)=1.5d0  , ab(18)=2.52d0 , ab(19)=1.12d0 , ab(20)=2.36d0
ab(21)=-1.17d0 , ab(22)=1.02d0 , ab(23)=0.d0   , ab(24)=1.67d0 , ab(25)=1.39d0
ab(26)=3.5d0  , ab(27)=0.92d0 , ab(28)=2.25d0
/
```

On trouve, dans la routine `abon_ini`, l'ordre et l'identification des éléments par leurs indices, en fait, celle des opacités OPAL. Dès lors, ***tous*** les modèles calculés dans ce directory, s'ils utilisent l'option mixture, auront des abondances initiales conformes à celles du fichier mixture. Une autre possibilité permet de personnaliser davantage; elle consiste à donner au fichier `mixture` le nom générique du modèle avec l'extension `.mix`, Ex : `mon_modele.mix`. Dès lors, ***seul*** le modèle `mon_modele` aura la composition chimique initiale désirée. Avec l'option `mixture`, CESAM2k cherche ***en priorité*** à utiliser le fichier `mon_modele.mix`; en son absence, c'est le fichier `mixture` qui est utilisé; le calcul n'est effectué que si l'un de ces deux fichiers existe dans l'environnement.

PB `Avec l'option nom_abon='mixture', les abondances relatives des métaux devraient, en principe, correspondre à celles des opacités, au moins, faute de mieux, pouvoir être prises en charge par la routine d'opacité utilisée.`

3.3 Rapports isotopiques

Pour utiliser des rapports isotopiques différents de ceux que CESAM prend par défaut, placer dans l'environnement du calcul, un fichier de nom `mon_modele.rap_iso` dans lequel seront précisés les rapports isotopiques à utiliser. Si ***tous*** les modèles de l'environnement doivent être calculés avec des rapports modifiés, donner au fichier précédent le nom de `rap_iso`. Exemple :

```
&NL_RAP_ISO
be7sbe9=1.d-25,
be7sz=1.d-29,
c13sc12=1.10d-2,
h2sh1=3.01d-5,
he3she4=1.1d-4,
he3she4z=4.185d-4,
li6sli7=7.5d-2,
mg25smg24=0.0125,
mg26smg25=0.013,
ne22sne20=6.79d-2,
```

[2] Voir aussi § 4.2 (Page 62).

```
n15sn14=0.366d-2,
o17so16=0.038d-2
o18so16=0.008d-2
/
```

Les noms utilisés pour les variables suggèrent les notations des rapports isotopiques `be7sbe9` : rapport isotopique ^{7}Be/^{9}Be. `he3she4z` est le rapport isotopique ^{3}He/^{4}He sur la ZAMS lorsque le deutérium initial a été transformé en ^{3}He, `be7sz` est l'abondance, quasi nulle, du ^{7}Be initial dans Z.

Par sécurité, ce fichier ne sera pris en compte, que si le paramètre `modif_chim` de la NAMELIST `nl_chim` du fichier de données est `.TRUE.` *cf.* § 2.3 (Page 32).

3.4 Personnalisation des rapports d'abondances

La mixture une fois définie, par exemple `solaire_gn` (Grevesse & Noëls 93), il est possible d'y modifier les abondances. Pour ce faire, créer dans l'environnement du calcul, un fichier de nom `mon_modele.modif_mix`, dans lequel seront indiquées les modifications en DeX à apporter. Si tous les modèles de l'environnement doivent être calculés avec ces modifications, donner au fichier précédent le nom de `modif_mix`. Exemple se trouvant dans le directory EXPLOIT :

```
&nl_modif_mix
add_Li=2.d0 ; add_Be=0.d0 ; add_B=0.d0
add_C=-1.0d0 ; add_N=0.d0 ; add_O=-0.3d0 ; add_F=0.d0 ; add_Ne=0.d0
add_Na=0.d0 ; add_Mg=0.d0 ; add_Al=0.d0 ; add_Si=0.d0 ; add_P=0.d0
add_S=0.d0 ; add_Cl=0.d0 ; add_Ar=0.d0 ; add_K=0.d0 ; add_Ca=0.d0
add_Sc=0.d0 ; add_Ti=0.d0 ; add_V=0.d0 ; add_Cr=0.d0 ; add_Mn=0.d0
add_Fe=0.d0 ; add_Co=0.d0 ; add_Ni=0.d0 ; add_Z=-1.d0
/
```

Les notations suggèrent les quantités à modifier; ainsi `add_Li=2.d0` est le nombre de DeX à ajouter à l'abondance du lithium. `add_Z=-1.d0` signifie que les abondances ***de tous les métaux*** seront diminuées d'un DeX. ***Par sécurité***, ce fichier ne sera pris en compte que si le paramètre `modif_chim` de la NAMELIST `nl_chim` du fichier de données est `.TRUE.` *cf.* § 2.3 (Page 32).

Si on a codé `GARDE_XISH=.FALSE.` dans le fichier de données *cf.* § 2.7.1 (Page 39), le paramètre `add_Z`, qui agit sur les métaux dans leur ensemble, n'a pas d'incidence dans la détermination des rapports métal/Z. A l'opposé, une valeur non nulle de `add_C`, par exemple, aura une incidence sur les rapports métal/Z.

3.5 Personnalisation de la composition chimique du vent.

Dans le cas standard, avec la donnée `mdot` non nulle, *cf.* § 2.3 (Page 32), la composition chimique de la masse perdue ou gagnée par le vent est celle de la couche la plus externe du modèle. Il est possible de personnaliser cette composition chimique, afin qu'elle diffère de celle de la couche externe. Pour ce faire, placer dans l'environnement du calcul, un fichier de nom `mon_modele.vent` dans lequel seront indiquées les fractions de masse de chaque élément chimique dans l'apport ou la perte de masse. Si tous les modèles de l'environnement doivent être calculés avec ces modifications, donner au fichier précédent le nom de `vent`. Un exemple se trouve dans le sous-directory EXPLOIT :

```
&nl_vent
vt_H=0.7347,vt_He=0.2483,vt_Li=1.033e-08,vt_Be=1.72816e-10,
vt_B=4.859e-09,vt_C=2.899e-03,vt_N=8.493e-04,vt_O=7.885e-03,
vt_F=4.182e-07,vt_Ne=1.768e-03,vt_Na=3.501e-05,vt_Mg=6.736e-04,
vt_Al=6.078e-05,vt_Si=7.434e-04,vt_P=8.198e-06,vt_S=3.704e-04,
vt_Cl=4.924e-06,vt_Ar=7.315e-05,vt_K=3.845e-06,vt_Ca=6.541e-05,
vt_Sc=4.126e-08,vt_Ti=3.041e-06,vt_V=3.888e-07,vt_Cr=1.856e-05,
vt_Mn=1.357e-05,vt_Fe=1.287e-03,vt_Co=3.492e-06,vt_Ni=7.6092e-05,
p_vent=1.000e-03
/
```

Les notations sont suggestives, ainsi `vt_Li=1.033e-08` est la fraction masse du lithium dans le vent. Une renormalisation étant effectuée lors de l'utilisation, il n'est pas nécessaire de normaliser les fractions de masse figurant dans ce fichier, certaines peuvent être nulles et même négatives. Suivant le signe de `MDOT`, la quantité de matière, apportée ou soustraite, est supposée provenir d'une couche de matière de masse $p_{\rm vent} \times M_\star$ située sous la surface. Le paramètre $p_{\rm vent}$ étant, hélas, arbitraire, le fichier `vent` peut être construit[3] par le programme `fichier_vent` du sous-directory EXPLOIT.

Par sécurité, ce fichier ne sera pris en compte, que si le paramètre `modif_chim` de la NAMELIST `nl_fdon` du fichier de données est `.TRUE.` *cf.* § 2.7 (Page 37).

3.6 Ascii

Pour créer un fichier de sortie en ASCII personnalisé, coder `nom_output='ascii'` dans le fichier de données et, dans l'environnement, placer un fichier de nom `sortie_ascii`[4] dans lequel sont définis les paramètres créant la structure souhaitée. Le codage, ***délicat***, est décrit dans la routine `output.f`, les indices des variables sont identifiés dans la routine `ascii.f` du sous-directory `SOURCE`. Dans l'exemple :

```
12  3
1 2 3 4 5 6 9 10 11 12 13 15
1 2 3
.FALSE.
.TRUE.
.TRUE.
Fichier pour sortie ascii:
```

les quantités ont les significations suivantes :

- 12 3 ⟶ on écrira 12 variables globales et 3 variables locales,
- 1 2 3 4 5 6 9 10 11 12 13 15 ⟶ indices des 12 variables globales (mstar*msol, rtot*rsol, ltot*lsol, z0, x0, alpha, X dans ZC, Y dans ZC, d2p, d2ro, age, vsal, w_rot initial).
- 1 2 3 ⟶ indices des 3 variables locales : Rayon, log(M/Mtot), Température).

[3] La composition chimique de l'exemple est celle de la mixture météoritique de Grevesse & Sauval 98. Par ailleurs, il n'est pas nécessaire, ici, de respecter la 'case'.

[4] Dont un exemple se trouve dans le sous-directory `EXPLOIT`.

- .FALSE. ⟶ la masse sera écrite en fraction de la masse totale et non en DeX.
- .TRUE. ⟶ tabulation du centre à la surface.
- .TRUE. ⟶ on ajoute la composition chimique locale à la suite des variables locales.
- Fichier pour sortie ascii : texte d'entête du fichier de sortie.

Le nom générique du fichier de données est repris pour former celui du fichier de sortie en ASCII : avec `mon_modele.don` le nom du fichier de sortie est `mon_modele-ascii`. Avec le fichier cité comme exemple, on a obtenu :

```
Fichier pour sortie ascii: mon_modele-ascii
CESAM2k version 0.0.0.0 lagr colloc  1  2 np no diffus, 06 Juillet 2003 17h46
Physique utilisée: etat_eff, opa_yveline_lisse, conv_jmj, ppcno9, NACRE
solaire_gn, lim_atm, hopf, perte_ext, diffm_mp, difft_nu, ctes_94
 10  H1  He3  He4  C12  C13  N14  N15  O16  O17  Si28
       541        12        13        10        -1
 1.989190000000E+33 6.010741880620E+10 2.478601588572E+33 2.000000000000E-02 7.000000000000E-01
 1.800000000000E+00 7.000000000000E-01 2.800000000000E-01-4.241618755712E+01-2.519592625187E+01
 0.000000000000E+00 0.000000000000E+00
 0.000000000000E+00 0.000000000000E+00 1.359013041915E+07 7.000000000000E-01 8.826927693868E-05
 2.799117307231E-01 3.425410508692E-03 4.128413464627E-05 1.059170894932E-03 4.168107978225E-06
 9.641655715570E-03 3.903146720978E-06 5.824407491460E-03
 1.302042603905E+09 1.175206179724E-08 1.353639070045E+07 7.000000000000E-01 8.826927693868E-05
 2.799117307231E-01 3.425410508692E-03 4.128413464627E-05 1.059170894932E-03 4.168107978225E-06
 9.641655715570E-03 3.903146720978E-06 5.824407491460E-03
          ..................................................

 6.014328252162E+10 1.000000000164E+00 4.543950048106E+03 7.000000000000E-01 8.826927693868E-05
 2.799117307231E-01 3.425410508692E-03 4.128413464627E-05 1.059170894932E-03 4.168107978225E-06
 9.641655715570E-03 3.903146720978E-06 5.824407491460E-03
 6.014636429604E+10 0.000000000000E+00 4.543482782113E+03 7.000000000000E-01 8.826927693868E-05
 2.799117307231E-01 3.425410508692E-03 4.128413464627E-05 1.059170894932E-03 4.168107978225E-06
 9.641655715570E-03 3.903146720978E-06 5.824407491460E-03
```

Comme pour les abondances initiales *cf.* § 3.2 (Page 51), il est possible de ne créer ce fichier de sortie personnalisé, que pour un modèle particulier, en donnant au fichier de sortie `sortie_ascii` le nom du modèle avec l'extension `.ascii`, exemple : `mon_modele.ascii`. S'il existe dans l'environnement, ce seront les paramètres de ce dernier fichier qui seront pris en compte pour ***le*** modèle de nom `mon_modele`. En son absence, CESAM2k cherchera à utiliser ceux du fichier `sortie_ascii`, à défaut de ce dernier, il n'y aura pas de sortie ASCII.

3.7 Réglages

Les réglages, définis dans la routine `cesam.f` en fonction du paramètre `PRECISION` du fichier de données `mon_modele.don`, peuvent être personnalisés en codant : `PRECISION='rg'`, et en disposant dans l'environnement un fichier de nom : `reglages`[5] comportant les réglages à utiliser. Exemple d'un tel fichier `reglages` :

```
&NL_RLG
m_qs=2,
m_ch=3,
```

[5]Dont un exemple se trouve dans le sous-directory `EXPLOIT`.

```
m_rot=3,
m_rl=8,
m_tds=2,
m_ptm=2,
ordre=1,
precix=1.d-4,
precit=0.1d0,
ro_test=0.1d0,
psi0=0.05d0,
d_grav=0.5d0,
loc_zc=5.d-4,
dtmax=200.d0,
dt0=1.d0,
ini0=5,
n_atm=75,
kipp=.TRUE.,
en_masse=.TRUE.,
ctel=0.0d0,
ctep=-1.d0,
ctem=15.d0,
cter=0.d0,
ctet=0.d0,
mvt_dis=.TRUE.,
n_max=2000,
dn_fixe=0.05d0,
dpsi=0.05d0,
d_conv=1.d13
/
```

Les significations des paramètres sont les suivantes :

m_qs=2 : Ordre des B-splines pour les variables quasi-statiques.

m_ch=3 : Ordre des B-splines pour l'interpolation de la composition chimique.

m_rot=3 : Ordre des B-splines pour l'interpolation du moment cinétique.

m_rl=8 : Ordre des B-splines pour le lissage des coefficients de la diffusion du moment cinétique.

m_tds=2 : Ordre des B-splines pour interpolation de l'énergie graviphique.

m_ptm=2 : Ordre des B-splines pour interpolation de la perte de masse.

ordre=1 : Ordre du schéma d'intégration des réactions nucléaires avec `rk_imps`.

precix=1.d-4 : Précision sur les itérations Newton-Raphson des intégrations spatiales.

precit=0.1d0 : Variation relative maximale pour l'intégration temporelle de la composition chimique.

ro_test=0.1d0 : Test de variation de l'énergie graviphique si `ro > ro_test`.

psi0=0.05d0 : Constante de répartition à assurer.

d_grav=0.5d0 : Variation temporelle maximale de l'énergie graviphique.

loc_zc=5.d-4 : Précision de la localisation des limites zones radiatives / zones convectives.

dtmax=200.d0 : Pas temporel maximum.

ini0=5 : Nombre d'itérations Newton-Raphson avec réestimation de la composition chimique, de la vitesse angulaire et des limites zones radiatives / zones convectives.

n_atm=75 : Nombre de couches dans l'atmosphère restituée.

kipp=.TRUE. : Utilisation de l'approximation de Kippenhahn.

en_masse=.TRUE. : Variables quasi-statiques lagrangiennes.

ctel, ctep, ctem, cter, ctet : Facteurs de répartition.

mvt_dis=.TRUE. : Ajustement de la composition chimique due aux déplacements des discontinuités..

n_max=max(n_max,1000) : Nombre maximal de couches.

dn_fixe=0.05d0 : Taux limite de variation du nombre de couches nécessitant un réajustement de la grille fixe pour l'interpolation de la composition chimique.

dpsi=0.02 : Taux limite de variation de la fonction de répartition nécessitant une modification du nombre de couches.

d_conv=1.d13 : Coefficient de diffusion turbulente dans les zones mélangées.

L'ajustement des constantes de répartition ***est délicat***. Les valeurs par défaut sont `ctel=0, ctep=-1, ctem=15, cter=0, ctet=0`. Prendre garde que `ctep` et `ctet` doivent être ***négatives***, car elles affectent respectivement la pression et la température, quantités décroissantes du centre à la surface.

Comme pour les abondances initiales *cf.* § 3.2 (Page 51), il est possible de plus personnaliser ces réglages en donnant au fichier des réglages, celui du modèle avec l'extension `.rg`, exemple : `mon_modele.rg`. S'il existe dans l'environnement, ce seront les paramètres de ce fichier qui seront pris en compte pour ***le*** modèle de nom `mon_modele`. En son absence, ce seront les quantités du fichier `reglages`, s'il n'existe pas, le calcul ne sera pas effectué.

3.8 Zoom

Il est possible de personnaliser le dessin "on line" du diagramme HR en y dessinant un rectangle cible à atteindre par le trajet évolutif, ainsi que de modifier l'échelle du diagramme, en centrant celui-ci autour de la valeur du point cible à des distances précisées en DeX de $\log T_{\rm eff}$ et $\log L$. On peut aussi tracer une cible de [Fe/H] à atteindre, dans le cadre du dessin des abondances en fonction de la masse. Pour ce faire, coder `nom_des='zoom'` dans le fichier de données et, dans l'environnement, placer un fichier de nom `zoom`, dans lequel sont introduites les données nécessaires. Exemple d'un tel fichier `zoom`[6] :

```
&NL_DES
teff_des=6530.,
dteff_des=50., -30.,
zoom_t=0.2, -0.1,
l_des=6.844,
dl_des=0.6, -0.4
zoom_l=0.1, -0.2,
fesh_des=0.05,
dfesh_des=0.03, -0.04,
logteff_max=4.6,
logteff_min=3.5,
logl_max=5.,
logl_min=2.5
/
```

- Il n'y a pas de personnalisation si `teff_des` et/ou `l_des` est négatif ou nul.
- Le zoom n'est effectif qu'avec `zoom_t` et `zoom_l` non nuls.
- Pour ne pas dessiner de cible en métallicité coder `fesh_des=100`.
- Les valeurs des abscisses et ordonnées maximales *i.e.* `logteff_max (min)`, `logl_max (min)` ***prévalent*** sur celles des cibles; dans l'exemple précédent, les échelles logarithmiques en température effective et en luminosité variront respectivement dans les intervalles $[4.6, 3.5]$ et $[2.5, 5.]$.
- Pour **seulement** adapter les échelles du diagramme HR coder, par exemple :

```
&NL_DES
teff_des=0.,
dteff_des=0., 0.,
zoom_t=0., 0.,
l_des=0.,
dl_des=0., 0.
zoom_l=0., 0.,
fesh_des=0.,
```

[6] Exemple se trouvant dans le sous-directory `EXPLOIT`.

```
dfesh_des=0., 0.,
logteff_max=3.6,
logteff_min=2.5,
logl_max=2.,
logl_min=-2.5
/
```

- Pour **seulement** cadrer le diagramme HR autour de la cible coder :

```
&NL_DES
teff_des=6530.,
dteff_des=50., -30.,
zoom_t=0.2, -0.1,
l_des=6.844,
dl_des=0.6, -0.4
zoom_l=0.1, -0.2,
fesh_des=100.,
dfesh_des=0., 0.,
logteff_max=0.,
logteff_min=0.,
logl_max=0.,
logl_min=0.
/
```

La signification des variables est la suivante :

teff_des=6530. : Température effective du centre de la cible.

dteff_des=50., -30. : Ecarts en température effective.

zoom_t=0.2, -0.1 : Extension en température effective autour de la cible en DeX.

l_des=6.844 : Luminosité du centre de la cible.

dl_des=0.6, -0.4 : Ecarts en luminosité.

zoom_l=0.1, -0.2 : Extension en luminosité autour de la cible en DeX.

fesh_des=0.05 : Cible à atteindre en métallicité.

dfesh_des=0.03, -0.04 : Ecarts de la cible en métallicité.

logteff_max=4.6 : $\log_{10}$ de l'abscisse maximale du diagramme HR.

logteff_min=3.5 : $\log_{10}$ de l'abscisse minimale du diagramme HR.

logl_max=5. : $\log_{10}$ de l'ordonnée maximale du diagramme HR.

logl_min=2.5 : $\log_{10}$ de l'ordonnée minimale du diagramme HR.

Il est possible de personnaliser davantage, en donnant au fichier `zoom` le nom attaché au modèle avec l'extension `.zoom`, exemple : `mon_modele.zoom`. Dès lors, les dispositions précédentes ne seront effectives ***que pour*** le modèle `mon_modele`. Avec l'option `zoom`, CESAM cherche à utiliser le fichier `mon_modele.zoom`, en son absence, le fichier `zoom` est utilisé.

3.9 Device

Pour adapter les dimensions des cadres et le nom du device à utiliser, placer dans l'environnement du calcul, un fichier de nom `device`, dans lequel sont introduites les données nécessaires. Exemple d'un tel fichier `device`[7] :

```
&NL_DEVICE
h=6.5,
dh=1.5,
ld=8.5,
dl=2.,
xleft=1.8,
ybot=1.4,
device='/xw'
/
```

La signification des variables est la suivante (unités en cm) :

h=6.5 : Hauteur des cadres.

dh=1.5 : Espace vertical entre les cadres.

ld=8.5 : Largeur des cadres.

dl=2. : Espace horizontal entre les cadres.

xleft=1.8 : Distance du dessin à la limite gauche de l'écran.

ybot=1.4 : Distance du dessin à la limite inférieure de l'écran.

device='/xw' : Nom du device.

On peut aussi modifier directement les valeurs de ces paramètres dans le module `mod_donnees` du sous-directory `SOURCE`.

3.10 Physique45

Un fichier, de nom `physique45`, placé dans l'environnement du calcul, *cf.* § 2.15 (Page 45), permet d'utiliser un fichier de données de CESAM4 ou de CESAM5 avec une physique différente de celle prévue par défaut. Par exemple :

[7] Exemple se trouvant dans le sous-directory `EXPLOIT`.

```
&NL_PHYSIQUE45
 NOM_CHEMIN=~/SUN_DATA/'
 NOM_CTES='ctes_85'
 NOM_DES='des_r'
 NOM_OUTPUT='osc_adia'
 NOM_PERTM='pertm_ext'
 NOM_CONV='conv_cm'
 NOM_DIFFM='diffm_0'
 NOM_DIFFT='difft_nu'
 NOM_ETAT='etat_ceff'
 NOM_OPA='opa_yveline'
 NOM_NUC='ppcno3ac10'
 NOM_NUC_CPL='Cau-Fow'
 NOM_ATM='lim_atm'
 NOM_TDETAU='roger_00'
/
```

On trouvera ce fichier dans le sous-directory `EXPLOIT`.

Chapter 4

Extensions

4.1 Ajout d'une chaîne de réactions thermonucléaires

Pour implanter une nouvelle chaîne de réactions thermonucléaires, il est souvent nécessaire d'ajouter un ou plusieurs isotopes, et aussi une ou plusieurs réactions thermonucléaires.

- Pour ajouter un isotope[1] :
  1. Dans le module `mod_nuc` augmenter le `PARAMETER niso_tot` d'une unité, Exemple : `niso_tot=28`.
  2. Dans la routine `taux_nuc` :
     (a) Dans les déclarations, ajouter l'excès de masse de l'isotope et son symbole, Exemple : `Fe56=-60.6054d0`.
     (b) Ajouter la masse de l'isotope, (il est conseillé d'ajouter la masse de l'isotope, dans les routines de constantes physiques `ctes_85` et `ctes_95`, et par suite dans les déclarations du module `mod_donnees` et dans l'instruction de restriction `ONLY` de la routine `taux_nuc`, Exemple : `nucleot(27)=afe56, afe56=55.847d0, afe56, af18...`).
     (c) Ajouter la charge de l'isotope, Exemple : `zit(28)=11`.
     (d) Ajouter le nom de l'isotope, Exemple : `'B11 '`. (ces chaînes de 4 caractères sont à cadrer à gauche sauf pour les symboles de 2 caractères qui sont centrés.).
     (e) Si besoin, ajouter un rapport isotopique pour ce nouvel isotope :
        i. Introduire sa valeur dans la liste disposée à la fin de la routine.
        ii. Indiquer son nom dans la NAMELIST `nl_rap_iso` dans la partie déclarative de la routine.
        iii. Ajouter son nom dans la partie déclarative du module `mod_nuc`.
- Pour ajouter une réaction :

[1] CESAM2k prévoit la possibilité d'utiliser des éléments chimiques de l'hydrogène ($Z = 1$) jusqu'au nickel ($Z = 28$). Pour introduire des éléments de masse supérieure, les disposer dans la routine `abon_ini` en appliquant une procédure voisine de celle décrite pour l'ajout d'un isotope.

1. Dans la routine `taux_nuc` :
   (a) Compléter la liste de commentaires en y indiquant le symbole de la réaction et son indice, Exemple : `réaction 46 : B11(p,g)C12`.
   (b) Initialiser le nom de la réaction, le défaut de masse, et les charges des noyaux concernés, Exemple : `nom_react(2)='H2(p,g)He3' nuc=H2+p-He3 ; qt(2)=nuc ; izzt(2,1)=1 ; izzt(2,2)=1`.
   (c) Entrer le taux de la réaction[2] `rt(i)` en ln et ne pas oublier d'y inclure les 1! ou 2! ou 3! du dénominateur, Exemple : `réaction 8 : C12(p,g)N13(e+ nu)C13 z0=6, z1=1.....` en recalculant, au besoin, les coefficients à partir des $S(0)$, $S'(0)$, $S"(0)$ suivant l'équation 4-49 de Lang Astrophysical formulae [1968].
   (d) Créer la routine de réactions thermunucléaires en s'inspirant d'une des routines existantes, `ppcno12BeBFe.f` par exemple.
2. Dans la routine `tabul_nuc`
   (a) Entrer les paramètres du calcul des taux, le nombre de réactions et les correspondances des indices, Exemple : `CASE('ppcno12') ; WRITE(2,6) ; WRITE(*,6)....`
3. Dans le module `mod_nuc` :
   (a) Introduire par un `INCLUDE` le nom de la routine de la chaîne de réactions, Exemple : `INCLUDE 'ppcno9.f'`
4. Dans la routine générique `nuc` :
   (a) Rendre active et faire reconnaître la nouvelle routine.
5. Tester les algorithmes ainsi modifiés en exploitant le programme `test_jacobien_reac_nuc.f` du sous-directory TEST.

4.2 Ajout d'une mixture initiale

Ainsi qu'il est décrit au § 3.2 (Page 51), il est possible de personnaliser les abondances initiales à l'aide d'un fichier `mixture`. Quand la mixture initiale est d'intérêt général[3] il est préférable et très simple, d'en ajouter la table des abondances dans la routine `abon_ini` de la source, en lui donnant un nom d'au plus 20 caractères. Pour refaire ensuite le module exécutable, il suffit d'appliquer le script `rempl2k_mod` au module `mod_nuc` : `rempl2k_mod mod_nuc`.

[2] C'est pour des raisons historiques que ces calculs sont effectués en ln. Les raisons étaient d'éviter d'une part, les erreurs de troncature et d'autre part, les dépassements de capacité avec la limitation à 10^{38}.

[3] Pour faire profiter la communauté de votre travail, communiquer la routine ainsi transformée aux responsables de la mise à jour de CESAM2k.

Chapter 5

Debug

5.1 Debug

La structure de CESAM2k en modules permet une vérification efficace de la syntaxe par le compilateur. Le revers de la médaille est que la mise au point et/ou le debug nécessitent de recompiler tout le module auquel appartient la routine dans laquelle le bug est recherché. Lors de l'installation, il est utile de créer, conjointement à la bibliothèque d'exploitation `libcesam2k.a` une bibliothèque de debug `libcesam2k-dbg.a`. Cette bibliothèque est créée automatiquement lors de l'exécution du script `genere_cesam2k-dbg` du sous-directory `SCRIPTS`. Pour ce faire, utiliser les options de debug du compilateur; la procédure `compile2k-dbg` du sous-directory `SCRIPTS` en est un exemple. Le temps nécessaire à la construction de la bibliothèque de debug est significativement plus court que celui de la construction de la bibliothèque d'exploitation, facteur 5 à 10 par exemple, facteur qui se retrouve, mais dans l'autre sens, lors d'une exécution.

Exemple : un bug a été détecté dans la routine `des_m` du module `mod_cesam`[1]. On introduit des instructions de debug dans `des_m`. Dans le sous-directory `TESTS` on exécute le programme `test_cesam` dans lequel on inclut le module `mod_cesam` :

```
INCLUDE '../SOURCE/mod_cesam.f'

c*****************************************************************

PROGRAM test_cesam

USE mod_cesam

IMPLICIT NONE

CALL cesam

STOP
```

[1] Les *bons* compilateurs indiquent le nom des routines où ils détectent un bug.

```
END PROGRAM test_cesam
```

Au link, le fichier `mod_cesam.mod` créé dans le sous-directory `TESTS` sera utilisé et non pas celui du sous-directory `SOURCE`. Lors de l'exécution, les instructions de debug, alors prises en compte, permettront de détecter le défaut. Une fois la routine `des_m` corrigée, dans le sous-directory `SOURCE`, l'exécution du script : `mod_repl mod_cesam`, remplacera le module `mod_cesam` dans la bibliothèque et recréera l'exécutable `cesam2k.out`. Ainsi, aucun fichier du sous-directory `SOURCE` n'a été déplacé.

Appendix A

Installation sous LINUX

A.1 Création de la bibliothèque avec `ifc`

La Norme F95, telle qu'elle a été définie en 1996, est implémentée de façon stricte dans le compilateur[1] `ifc`. Depuis, on s'est aperçu d'une limitation "idiote" de cette Norme, interdisant de mettre un tableau `ALLOCATABLE` alors que :

`REAL(kind=dp), INTENT(out), POINTER, DIMENSION(:)`

était autorisé. Dans certains contextes, `POINTER` et `ALLOCATABLE` sont synonymes. Quelques temps plus tard, un Technical Report qui "corrigeait" et autorisait cette limitation est paru. Les compilateurs de Compaq/Digital (stations Unix, PC Windows) Lahey-Fujitsu (Linux, Windows) ont été corrigés; INTEL ne semble n'avoir effectué la correction que dans la dernière version de `ifc`.

Remède : Remplacer `ALLOCATABLE` par `POINTER`, chaque fois que le compilateur manifeste. Par la suite, avec le compilateur `ifc` à jour, tout rentrera dans l'ordre. Actuellement la Norme Fortran 2003 différencie `ALLOCATABLE` et `POINTER`.

Les corrections à apporter sont les suivantes :

1. Routine `tabul_nuc.f` transformer :

```
REAL (kind=dp), INTENT(out), ALLOCATABLE, DIMENSION(:,:) :: taux_reac
REAL (kind=dp), INTENT(out), ALLOCATABLE, DIMENSION(:) ::ar,q0,temp,ttemp
INTEGER, INTENT(out) :: i3al, knot_temp, m_temp, n_temp
CHARACTER (len=20), INTENT(out), ALLOCATABLE, DIMENSION(:) :: nom_reac
```

   en :

```
REAL (kind=dp), POINTER, DIMENSION(:,:) :: taux_reac
REAL (kind=dp), POINTER, DIMENSION(:):: ar, q0, temp, ttemp
INTEGER, INTENT(out) :: i3al, knot_temp, m_temp, n_temp
CHARACTER (len=20), POINTER, DIMENSION(:) :: nom_reac
```

2. Routine `tabul_nuc`, transformer :

[1] Diagnostique, commentaires et remèdes selon B.Pichon.

```
REAL (kind=dp), ALLOCATABLE, SAVE, DIMENSION(:,:) :: decrx,dzetax,taux_reac
REAL (kind=dp), ALLOCATABLE, SAVE, DIMENSION(:) :: ar, datx, dbidx,
1 dc1x, decro, decrt, dfx, df12x, dkx, dnex, dr, dzstarx, ecran,
2 lambda, mz1z2, q0, temp, ttemp, tx, z1z2
REAL (kind=dp), SAVE, DIMENSION(2) :: zeta, dzetat, dzetaro
REAL (kind=dp), SAVE :: cte1, cte2, cte3, cte4, cte5, cte6, cte7,
1 cte8, cte9, cte10
REAL (kind=dp) :: zstar, ne, c1, f12, at, k, bid, bid1, df,
1 e0, eps, beta, dnero, dc1ro, df12t, df12ro, datt, datro, dkt,
2 dkro, dbidt, dbidro, dft, dfro
INTEGER, SAVE :: i3al, knot_temp, l=1, m_temp, n_temp
INTEGER :: i, j
CHARACTER (len=20), ALLOCATABLE, DIMENSION(:) :: nom_reac
```

en :

```
REAL (kind=dp), POINTER, SAVE, DIMENSION(:,:) :: decrx,dzetax,taux_reac
REAL (kind=dp), POINTER, SAVE, DIMENSION(:) :: ar, datx, dbidx,
1 dc1x, decro, decrt, dfx, df12x, dkx, dnex, dr, dzstarx, ecran,
2 lambda, mz1z2, q0, temp, ttemp, tx, z1z2
REAL (kind=dp), SAVE, DIMENSION(2) :: zeta, dzetat, dzetaro
REAL (kind=dp), SAVE :: cte1, cte2, cte3, cte4, cte5, cte6, cte7,
1 cte8, cte9, cte10
REAL (kind=dp) :: zstar, ne, c1, f12, at, k, bid, bid1, df,
1 e0, eps, beta, dnero, dc1ro, df12t, df12ro, datt, datro, dkt,
2 dkro, dbidt, dbidro, dft, dfro
INTEGER, SAVE :: i3al, knot_temp, l=1, m_temp, n_temp
INTEGER :: i, j
CHARACTER (len=20), POINTER, DIMENSION(:) :: nom_reac
```

3. Routine, `mod_donnees` transformer :

```
CHARACTER (len=4), SAVE, PUBLIC, ALLOCATABLE, DIMENSION(:) :: nom_elem
```

en :

```
CHARACTER (len=4), SAVE, PUBLIC, POINTER, DIMENSION(:) :: nom_elem
```

A.2 Installation de PGPLOT

A.2.1 Installation intégrale avec `ifc`

Thierry Corbard, Observatoire de la Côte d'Azur, a construit le fichier de configuration `ifc_gcc.conf` de PGPLOT avec LINUX pour le compilateur F90 `ifc` de INTEL. Pour créer la source de PGPLOT en utilisant ce compilateur :

1. Se placer dans le sous-directory `/usr/local/src/pgplot/sys_linux` de la source de PGPLOT.

   (a) Y inclure le fichier de configuration : `ifc_gcc.conf`, que l'on trouvera dans le sous-directory `SCRIPTS`.

   (b) Y créer le sous-directory `ifc_src` : `mkdir ifc_src.`

   (c) Y Inclure le fichier `ifc_src/grgenv.f`, que l'on trouvera dans le sous-directory `SCRIPTS`.

2. Exécuter :
   `/usr/local/src/pgplot/makemake /usr/local/src/pgplot linux ifc_gcc`

A.2.2 Installation sans larme

Sous LINUX, il est possible d'installer PGPLOT sans trop de difficultés en procédant de la façon[2] suivante :

1. Avec un moteur de recherche, Google par exemple, rechercher `pgplot rpm`.

2. Parmi les sites détectés, choisir celui qui propose de télécharger une version récente correspondant au processeur et au système d'exploitation utilisés. Par exemple, `pgplot-5.2.2-1.i686.rpm` est satisfaisant pour un Pentium4 sous Mandrake[3].

3. Télécharger ce logiciel. A l'issue du téléchargement, se placer dans le directory où s'est effectué le téléchargement. Cliquer sur le nom du logiciel téléchargé, acquérir les droits du super-utilisateur, les logiciels s'installent.

4. Le système place les deux bibliothèques partageables `libpgplot.so.5.2.0` et `libpgplot.so.5` dans le directory `/usr/lib` et y crée le sous-directory `pgplot`. Il contient les 3 fichiers : `grexec.f, rgb.txt, grfont.dat.`

5. Créer dans le sous-directory `pgplot` deux liens vers les bibliothèques partageables : `ln -s /usr/lib/libpgplot.so.5 libpgplot.so,`

   `ln -s /usr/lib/libpgplot.so.5.0 libpgplot.so.0`

6. Dans le fichier `.cshrc` ajouter :

   (a) Le chemin de `PGPLOT LD_LIBRARY_PATH **** :/usr/lib/pgplot`.

   (b) La variable d'environnement `setenv PGPLOT_DIR /usr/lib/pgplot`.

[2]Cette procédure a été testée avec les distributions LINUX Mandrake et SuSE.
[3]On trouvera ce logiciel dans le sous-directory `SCRIPTS` de la distribution.

Appendix B

Liste des fichiers ASCII

Se reporter § 2.3 (Page 32) pour la description du fichier ASCII de données `mon_modele.don`.

B.1 Fichiers pour oscillations

Les fichiers ASCII pour les oscillations ont une en-tête commune. Leur contenu diffère ensuite suivant leur type.

`en-tête` :

- Lignes 1-4 : identification et physique utilisée.
- Ligne 5 : nombre, noms des éléments chimiques utilisés.
- Ligne 5 : nombre de couches, de "global" (13), de variables, d'éléments chimiques (redondant), indice de la vitesse angulaire (s'il n'en est pas tenu compte, l'indice est -1).

Exemple :

```
Fichier pour inversion: test-inv.osc
CESAM2k version 0.0.0.0 lagr colloc  1  2 np no diffus, 31 Aout 2003 17h45
Physique utilisée: etat_eff, opa_int_zsx, conv_jmj, ppcno9, NACRE
solaire_gn, lim_atm, hopf, perte_ext, diffm_mp, difft_nu, ctes_94
 10  H1  He3  He4  C12  C13  N14  N15  O16  O17  Si28
       472        13        25        10        -1
 1.989190000000E+33 6.959888774683E+10 3.846010241481E+33 1.723296157963E-02 7.033715921640E-01
 1.601359931639E+00 7.033715881909E-01 2.793954502293E-01-1.234804262016E+02-1.250212463069E+02
 4.650000000000E+03 0.000000000000E+00 0.000000000000E+00
 6.965125316795E+10 1.125188830934E-10 4.712514552821E+03 1.082443642936E+03 3.550000000000E-09
 2.317104979700E-04 3.846010241481E+33 5.992732100399E-03 0.000000000000E+00 1.664711685203E+00
 3.986098681160E-01 1.004603449555E+00 1.630687926937E+08 1.300571860485E+00 2.500897748491E+03
 0.000000000000E+00 1.729836584721E+00 8.429278614488E-01 0.000000000000E+00 0.000000000000E+00

.........................................

 3.983397251906E-01 9.536638658353E-01 2.457927862174E+08 8.289918269170E-01 0.000000000000E+00
 0.000000000000E+00-1.948967682005E+00 3.878822249046E-01 2.023289474023E+02 1.828866051074E+01
 1.000000000000E+00 3.288637435509E-01-5.586998681649E-03 6.642708700530E-03-8.894901969547E-03
 3.750487629847E-01 1.039826643345E-05 6.071493899575E-01 1.637161572818E-05 4.475726236722E-06
 4.374234929779E-03 1.935496963607E-07 7.968745830613E-03 3.970500883875E-04 5.030377050940E-03
```

B.1.1 Fichier pour oscillations adiabatiques

```
glob: variables globales du fichier mon_modele-ad.osc

glob(1)=mstar*msol
glob(2)=rtot*rsol
glob(3)=ltot*lsol
glob(4)=z0
glob(5)=x0
glob(6)=alpha
glob(7)=X dans ZC
glob(8)=Y dans ZC
glob(9)=d2p
glob(10)=d2ro
glob(11)=age
glob(12)=w_rot initial

var: variables locales utilisées ; nvar=22 pour oscillations adiabatiques

var(1,i)=r*rsol
var(2,i)=log(m/mstar) -1.d38 au centre
var(3,i)=t
var(4,i)=Ptot
var(5,i)=ro
var(6,i)=gradient réel d ln T / d ln P
var(7,i)=l
var(8,i)=kap
var(9,i)=énergie thermo+gravifique
var(10,i)=grand Gamma1
var(11,i)=gradient adiabatique
var(12,i)=delta
var(13,i)=cp
var(14,i)=1 / (mu elec.)
var(15,i)=vaissala, 0 au centre
var(16,i)=vitesse angulaire, radian/sec
var(17,i)=d ln kappa / d ln T
var(18,i)=d ln kappa / d ln ro
var(19,i)=d epsilon(nuc) / d ln T
var(20,i)=d epsilon(nuc) / d ln ro
var(21,i)=Ptot / Pgas
var(22,i)=gradient radiatif

composition chimique

var(22+j,i)=xchim(j)*nucleo(j), j=1,nbelem
```

B.1.2 Fichier pour oscillations non adiabatiques

```
glob: variables globales du fichier mon_modele-nad.osc

var: variables
glob(1)=mstar*msol
glob(2)=rtot*rsol
glob(3)=ltot*lsol
glob(4)=z0
glob(5)=x0
glob(6)=alpha
glob(7)=X dans ZC
glob(8)=Y dans ZC
glob(9)=d2p
glob(10)=d2ro
glob(11)=age
glob(12)=wrot vitesse de rotation globale
glob(13)=w_rot initial

var: variables locales utilisées ; nvar=44 pour oscillations non adiabatiques

var(1,i)=r*rsol
var(2,i)=log(m/mstar) -1.d38 au centre
var(3,i)=t
var(4,i)=Ptot
var(5,i)=ro
var(6,i)=gradient reel d ln T / d ln P
var(7,i)=l
var(8,i)=kap
var(9,i)=énergie thermo+gravifique
var(10,i)=grand Gamma1
var(11,i)=gradient adiabatique
var(12,i)=delta
var(13,i)=cp
var(14,i)=1 / (mu elec.)
var(15,i)=vaissala, 0 au centre
var(16,i)=vitesse angulaire, radian/sec
var(17,i)=d ln kappa / d ln T
var(18,i)=d ln kappa / d ln ro
var(19,i)=d epsilon(nuc) / d ln T
var(20,i)=d epsilon(nuc) / d ln ro
var(21,i)=Ptot / Pgas
var(22,i)=gradient radiatif
var(23,i)=d Gamma1 / d log P
var(24,i)=d Gamma1 / d log T
var(25,i)=d Gamma1 / dY = d Gamma1 / dZ
var(26,i)=dP / dro (TX)
```

```
var(27,i)=dP / dT (roX)
var(28,i)=dP / dX (Tro)
var(29,i)=du / dro (TX)
var(30,i)=du / dT (roX)
var(31,i)=du / dx(Tro)
var(32,i)=énergie interne
var(33,i)=d^2P / dro^2 (TX)
var(34,i)=d^2P / dro dT (X)
var(35,i)=d^2P / dT^2(roX)
var(36,i)=d^2U / dro^2 (TX)
var(37,i)=d^2U / dro dT (X)
var(38,i)=d^2U / dT^2 (X)
var(39,i)=dK / dX
var(40,i)=d^2K / dT^2
var(41,i)=d epsi / dX
var(42,i)=dX / dR
var(43,i)=J-B
var(44,i)=Edding. facteur

composition chimique

var(44+j,i)=xchim(j)*nucleo(j), j=1,nbelem
```

B.1.3 Fichier pour inversions

```
glob: variables globales du fichier mon_modele-inv.osc

glob(1)=mstar*msol
glob(2)=rtot*rsol
glob(3)=ltot*lsol
glob(4)=z0
glob(5)=x0
glob(6)=alpha
glob(7)=X dans ZC
glob(8)=Y dans ZC
glob(9)=d2p
glob(10)=d2ro
glob(11)=age
glob(12)=wrot vitesse de rotation globale
glob(13)=w_rot initial

var: variables locales utilisées ; nvar=25 pour inversion

var(1,i)=r*rsol
var(2,i)=log(m/mstar) -1.d38 au centre
var(3,i)=t
```

```
var(4,i)=Ptot
var(5,i)=ro
var(6,i)=gradient reel d ln T / d ln P
var(7,i)=l
var(8,i)=kap
var(9,i)=énergie thermo+gravifique
var(10,i)=grand Gamma1
var(11,i)=gradient adiabatique
var(12,i)=delta
var(13,i)=cp
var(14,i)=1 / (mu elec.)
var(15,i)=vaissala, 0 au centre
var(16,i)=vitesse angulaire, radian/sec
var(17,i)=d ln kappa / d ln T
var(18,i)=d ln kappa / d ln ro
var(19,i)=d epsilon(nuc) / d ln T
var(20,i)=d epsilon(nuc) / d ln ro
var(21,i)=Ptot / Pgas
var(22,i)=gradient radiatif
var(23,i)=d Gamma1 / d log P
var(24,i)=d Gamma1 / d log T
var(25,i)=d Gamma1 / dY = d Gamma1 / dZ

composition chimique

var(25+j,i)=xchim(j)*nucleo(j), j=1,nbelem
```

B.2 Fichier pour diagramme HR

Le fichier pour tracé/exploitation du diagramme HR est systématiquement implémenté au cours de chaque exécution de CESAM2*k*. Il est créé lors de l'initialisation d'un modèle sur la séquence principale d'âge zéro homogène ou la pré-séquence principale homogène. Il est complété en cas de reprise d'un modèle existant.

Pour chaque modèle, sur une première ligne sont reportés :

1. l'âge en 10^6 ans;
2. le nombre d'éléments du vecteur de composition chimique;
3. le nombre de limites zones radiatives / zones convectives
4. le numéro du modèle,
5. pour chaque limite zone radiative / zone convective la mention "T" ou "F" suivant qu'il s'agit, ou non, du début d'une zone convective;

6. suivant le nombre de limites, une ou plusieurs lignes sont nécessaires pour indiquer :
   (a) $\log T_{\rm eff}$,
   (b) $\log L/L_\odot$,
   (c) $\log R/R_\odot$
   (d) pour chaque limite, $M_\star/M_\odot$, $(M_\star - m)/M_\odot$, $r/R_\odot$, $r_{\rm ov}/R_\odot$, ($r_{\rm ov}$ étant le rayon de la limite étendue par overshooting).

Dans les cas particuliers, on utilise les conventions suivantes :

– modèle totalement convectif : 1 (seule) limite "F" placée au centre ($r/R_\odot = 0$),

– modèle totalement radiatif : 0 (aucune) limite "F" placée en -100 ($r/R_\odot = -100$).

Viennent ensuite les noms des éléments chimiques et leurs abondances, par unité de masse, au centre et à la surface. S'il n'est pas imposé d'overshoot, les valeurs $r_{\rm ov}$ des rayons des limites étendues sont fixées à -100. S'il est tenu compte de la diffusion du moment cinétique, une ligne supplémentaire, identifiée pr `Wrot` indique les vitesses linéaire et angulaire de la couche externe. Exemple :

```
 0.000000000000000E+00 10  2   0 F T
 3.749146E+00-1.723498E-01-6.098130E-02 1.000000E+00 9.053737E-01 1.262897E-01
-1.000000E+02 2.969686E-02 6.310311E-01-1.000000E+02
 H1  6.97718E-01 6.97718E-01
He3  8.91487E-05 8.91487E-05
He4  2.82700E-01 2.82700E-01
C12  3.33842E-03 3.33842E-03
C13  4.02357E-05 4.02357E-05
N14  1.03227E-03 1.03227E-03
N15  4.06226E-06 4.06226E-06
O16  9.39680E-03 9.39680E-03
O17  3.80402E-06 3.80402E-06
Si28 5.67649E-03 5.67649E-03
 1.000000000000000E+01 10  2   1 F T
 3.750235E+00-1.660591E-01-5.995672E-02 1.000000E+00 9.485921E-01 1.002733E-01
-1.000000E+02 2.900062E-02 6.330032E-01-1.000000E+02
 H1  6.97097E-01 6.97795E-01
He3  6.62006E-05 8.91324E-05
He4  2.83225E-01 2.82627E-01
C12  2.45937E-03 3.33777E-03
C13  4.11117E-04 4.02273E-05
N14  1.66274E-03 1.03208E-03
N15  2.18466E-07 4.06144E-06
O16  9.39741E-03 9.39506E-03
O17  3.87613E-06 3.80329E-06
Si28 5.67687E-03 5.67553E-03

.................................
```

```
 4.685000000000000E+03 10  31  1 T
 3.761741E+00-3.270666E-06 2.093004E-06 1.000000E+00 2.259322E-02 7.173108E-01
-1.000000E+02
 H1  3.22007E-01 7.30094E-01
He3  6.46882E-06 8.19412E-05
He4  6.57151E-01 2.51936E-01
C12  2.05912E-05 3.04480E-03
C13  5.63346E-06 3.64768E-05
N14  5.13761E-03 9.44078E-04
N15  2.25834E-07 3.69734E-06
O16  8.99719E-03 8.61328E-03
O17  7.99800E-04 3.47279E-06
Si28 5.87454E-03 5.24189E-03
```

Les fichiers pour diagramme HR sont lus par la routine `lit_hr` du module `mod_exploit`.

Bibliography

[1998] Adelberger E., et al., 1998, Rev. Mod. Phys. 70, 4, 1265

[1989] Anders E., Grevesse N., 1989, Geochimica et Cosmochimica Acta 53, 197

[1999] Angulo C., Arnould M., Rayet M., and the NACRE collaboration 1999, Nuclear Physics A 656, 1 and WEb site http://pntpm.ulb.ac.be/Nacre/nacre.htm

[1985] Alécian G., 1985, A&A 145, 275

[1990] Alécian G., Artru M.C., 1990, A&A 234, 323

[1990] Alécian G., Michaud G., Tully J., 1990, ApJ 411, 882

[1969] Arnett W.D., Truran J.W., 1969, ApJ 157, 339

[1969] Burgers J.M., 1969, Flow equations for composite gases, Academic Press, New york and London

[1988] Caughlan G.R., Fowler W.A., 1988, Atomic Data and Nuclear Data Tables 40, 284

[1991] Canuto V.M., Mazitelli I., 1991, ApJ 370, 295

[1996] Canuto V.M., Goldman ???, Mazitelli I., 1996, ApJ 473, 550 **INCOMPLET**

[1988] Christensen-Dalsgaard J., 1988, Computational procedures for GONG solar model project, Astronomisk Institut, Aarhus Universitet

[1968] Clayton D.D. ,1968, Principles of Stellar Evolution and Nucleosynthesis, Mc Graw–Hill

[1987] Conte S.D., de Boor C., 1987, Elementary Numerical Analysis, McGraw-Hill Book Company, third edition

[1968] Cox J.P., Guili R.T., 1968, Principles of Stellar Structure, vol I & II, Gordon & Bretch, New-York

[1989] Cox A.N., Guzik J.A., Kidman R.B., 1989, ApJ 342, 1187

[1978] De Boor C., 1978, A Practical Guide to Splines Springer; third ed. 1985

[1971] Eggleton P., 1971, Mon. Not. Roy. astr. Soc. 151, 351

[1972] Eggleton P., 1972, Mon. Not. Roy. astr. Soc. 156, 361

[1973] Eggleton P.P., Faulkner J., Flannery B.P., 1973, A&A 23, 325

[1975] Fowler W.A., Caughlan G.R., Zimmerman B.A., 1975, Ann. Rev. Astron. Astrophys. 13, 69

[1997] Gabriel M., 1997, A&A 327, 771

[1993] Grevesse N., Noels A., 1993, Cosmic Abundances of the Elements. In: Prantzos N., Vangioni-Flam & Cassé M. (Eds.), Origin and Evolution of the Elements. Cambridge University Press, 14

[1991] Hairer E., Wanner G., 1991, Solving Ordinary Differential Equations II, Springer-Verlag

[2002] Heiter??? et al????, 2002, A&A **INCOMPLET**

[1962] Henrici P., 1962, Discrete Variable Methods in Ordinary Differential Equations, John Wiley & Sons.

[1959] Henyey L.G., Le Levier R., Levee R.D., 1959, ApJ 129, 2

[1965] Henyey L.G., Vardya M.S., Bodenheimer P., 1965, ApJ 142, 841

[1996] Houdek G., Rogl J., 1996, Bull. Astr. Soc. India 24, 317

[1964] Iben I., 1964, ApJ 141, 993

[1975] Iben I., 1975, ApJ 196, 525

[1985] Iben I., MacDonald J., 1985, ApJ 296, 540

[1991] Iglesias C.A., Rogers F.J., 1991, ApJ 371 ,408

[1979] Kaps P., Rentrop P., 1979, Numer. Math. 33, 55

[1968] Kippenhahn R., Weigert A., Hofmeister E., 1968, Methods of Computational Physics 7, 129

[1991] Kippenhahn R., Weigert A., 1991, Stellar Structure and Evolution, Springer-Verlag

[1968] Lang Astrophysical formulae A COMPLETER aussi dans la bibli de CESAM2k

[1983] Maeder A., 1983, A&A 120, 113

[1987] Maeder A., Meynet G., 1987, A&A 182, 243

[1985] Marchouk G., Agochkov, V., 1985, Méthode des Eléments Finis, Mir

[1978] Mihalas D., 1978, Stellar Atmosphere, 2d Ed. Freeman and Cie

[1988] Mihalas D., Däppen W., Hummer D.G., 1988, ApJ 331, 815

[1993] Michaud G., Proffitt C.R., 1993, *Inside the Stars*, ed. A. Baglin & W.W. Weiss (San Francisco: ASP), 246

[1977] Mitler H.E., 1977, ApJ 212, 513

[1994] Morel P., van't Veer C., Provost J., Berthomieu G., Castelli F., Cayrel R., Lebreton Y., 1994, A&A 286, 91

[1997] Morel P., 1997, A&AS 124, 597 (une version incluant les appendices, est disponible sur le WEB : http://www.obs-nice.fr/morel/articles.html)

[1999] Morel P., Pichon B., Provost J., Berthomieu G., 1999, A&A 350, 275

[2002] Morel P., Thévenin F., 2002, A&A 390, 611

[1989] Muchmore D., 1984, ApJ 278, 769

[1986] Paquette C., Pelletier C., Fontaine G., Michaud G., 1986, ApJS 61, 177

[1986] Press W.H., Flannery B.P., Teukolsky S.A., Vetterling W.T., 1986, Numerical Recipes, Cambridge University Press, Cambridge

[1991] Proffit C.R., Michaud G., 1991, ApJ 371, 584

[1994] Quarteroni A., Valli A., 1994, Numerical approximation of partial differential equations, Springer-Verlag

[1967] Richtmyer R.D., Morton K.W., 1967, Finite Differences Methods for Initial Values Problems, 2d. Ed., Intersciences Publishers, New-York

[1981] Schatzman E., Maeder A., Angrand F., Glowinski R., 1981, A&A 96, 1

[1990] Schatzman E., Praderie F., 1990, Les Etoiles, Ed. InterEditions/Editions du CNRS

[1981] Schumaker L., 1981, Splines Functions: Basic Theory, John Whiley

[1979] Stoer J., Bulirsch R., 1979, Introduction to Numerical Analysis, Springer-Verlag

[1970] Strittmatter P.A., Faulkner J., Robertson J.W., Faulkner D.J., 1970, ApJ 161, 369

[1994] Thoul A.A., Bahcall J.N., Loeb A., 1994, ApJ 421, 828

[1980] Trenoguine V., 1980, Analyse Fonctionnelle, Mir

[1969] Wagoner R.V., 1969, ApJS 18, 247

[1980] Winkler K.H., Newman M.J., 1980, ApJ 236, 201

[1991] Zahn J.P., 1991, A&A 252, 179